

## بررسی تحلیلی اندرکنش صفحه‌ی دایره‌ای انعطاف‌پذیر با نیم‌فضای ایزوتروپ جانبی\*

قاسم گرجی بندپی<sup>(۱)</sup> مرتضی اسکندری قادی<sup>(۲)</sup> عزیزالله اردشیر بهرستاقی<sup>(۳)</sup>

**چکیده** هدف از این مقاله تحلیل هم‌زمان یک صفحه‌ی دایره‌ای انعطاف‌پذیر و نشیمن آن که یک محیط نیم‌بینهایت با رفتار ایزوتروپ جانبی است، می‌باشد به‌طوری که مجموعه‌ی تحت اثر نیروی قائم متقارن محوری مؤثر بر صفحه قرار گرفته‌است. در بررسی تحلیلی جزئیات اندرکنش بین صفحه‌ی انعطاف‌پذیر و نیم‌فضا در این مقاله ناحیه‌ی تماس صفحه و نیم‌فضا بدون قابلیت تحمل کشش در نظر گرفته شده‌است. به‌منظور حل، با اعمال نیروی حلقوی قائم بر دو محیط نیم‌فضا و صفحه به‌صورت جداگانه، توابع گرین تغییرمکان قائم این دو محیط در دستگاه مختصات استوانه‌ای به‌دست می‌آید و با در نظر گرفتن شرایط پیوستگی تغییرمکان‌ها در ناحیه‌ی تماس، معادلات انتگرالی دوگانه‌ی حاکم بر تنش تماسی مسأله به‌دست می‌آید. برای حل این معادلات از روش المان‌های محدود استفاده می‌شود به‌طوری‌که با به‌کارگیری المان‌های رینگی شکل و با تغییر تدریجی اندازه‌های المان، شرایط یکنواختی و تکیگی مسأله قابل مدل‌سازی می‌باشد. به‌منظور تأیید صحت انجام محاسبات در این مطالعه، نتایج به‌دست آمده با مقالات پایه‌ای موجود در دو حالت اندرکنش خطی و غیرخطی صفحه‌ی دایره‌ای انعطاف‌پذیر با نیم‌فضا مقایسه شده‌است. در ادامه برخی نتایج جدید به‌دست آمده در این مطالعه به‌منظور نشان دادن اثرات درجات مختلف نایزوتروپی نیم‌فضا به‌صورت جداول و گراف‌هایی ارائه شده‌است. نتایج این مقاله برای مدل‌سازی واقعی شالوده‌های مستقر بر خاک با رفتار ایزوتروپ جانبی استفاده می‌شود.

**واژه‌های کلیدی** نیم‌فضای ایزوتروپ جانبی، صفحه‌ی دایره‌ای انعطاف‌پذیر، متقارن محوری، معادلات انتگرالی دوگانه، روش المان‌های رینگی.

## Analytical Investigation of Interaction between Flexible Circular Plate with Transversely Isotropic Half-space

G. Gorji-Bandpay M. Eskandari-Ghadi A. Ardeshir-Behrestaghi

**Abstract** A transversely isotropic half-space with axis of material symmetry perpendicular to the free surface supports a flexible circular plate. The contact area of the plate and the half-space is considered to be both frictionless and unbonded (tensionless). The foundation is affected by a vertical static axisymmetric load. Detailed analysis of the interaction of these two systems is the target of this paper. With the use of ring load Green's functions for both the plate and the continuum half-space, dual integral equations accompanied with some inequalities are obtained to model the complex boundary value problem. With the incorporation of the ring-shape finite element method, where its size gradually varies, we are capable of capturing both regular and singular solution smoothly. The validity of the combination of the analytical and numerical method is proved with comparing the results of this paper with a number of benchmark cases of both linear and nonlinear interaction of circular plate and half-space. Some new illustrations are presented to portray the aspect of the anisotropy of the half-space.

**Keyword** Transversely Isotropic Half-Space, Flexible Circular Plate, Axial Axisymmetric, Dual Integral Equations, Ring-Element Method.

\* تاریخ دریافت مقاله ۹۲/۲/۱۰ و تاریخ پذیرش آن ۹۴/۱/۲۵ می‌باشد.

(۱) دانشجوی دکتری، مهندسی عمران-سازه، دانشگاه صنعتی نوشیروانی بابل.

(۲) نویسنده‌ی مسئول، استاد، گروه مهندسی عمران، دانشکده‌ی عمران، دانشگاه تهران.

(۳) استادیار، گروه مهندسی عمران، دانشکده‌ی عمران، دانشگاه علوم و فنون مازندران، بابل.

## مقدمه

بسیاری از مصالح در طبیعت و نیز ساخته‌های مصنوعی رفتار ایزوتروپ جانبی دارند. از آن‌جمله می‌توان به رفتار اعضای مستقیماً برگرفته از تنه‌ی درختان، محیط خاکی زیر ساختمان‌ها و صفحات چندلایه اشاره کرد. اهمیت بررسی پاسخ این مصالح از دیرباز مورد توجه بوده است به طوری که میشل در سال ۱۹۰۰ میلادی به بررسی یک نیم‌فضای ایزوتروپ جانبی تحت نیروهای سطحی دلخواه پرداخته است [24]. لخنیتسکی در سال ۱۹۴۰ محیط ایزوتروپ جانبی را در حالت متقارن محوری و بدون پیچش در نظر گرفته و معادلات درگیر حاکم بر مسئله را با معرفی یک تابع پتانسیل به صورت مجزا و قابل حل در آورده است [22]. هو محیط ایزوتروپ جانبی را در حالت کلی مورد توجه قرار داده و تابع پتانسیل لخنیتسکی را برای حالت کلی تکمیل کرده است [21]. این تابع هم‌اکنون در ادبیات مکانیک محیط‌های پیوسته با رفتار ایزوتروپ جانبی تحت نام تابع لخنیتسکی - هو - نواکی نامیده می‌شود. محیط با رفتار ایزوتروپ جانبی توسط دیگران هم‌چون ایوت [11]، ایوبنکس و استرنبرگ [18]، پن و چو [27] و ونگ و ونگ [31] نیز در حالت استاتیکی بررسی شده است. دینگ و همکاران در سال ۲۰۰۶ مطالعه‌ی کاملی بر روی رفتار محیط ایزوتروپ جانبی داشته‌اند. آنها اثر بارگذاری‌های مختلف از جمله تنش‌های ناشی از نیرو و حرارت سه‌بعدی را بر روی این محیط بررسی نموده‌اند [10]. این محیط در حالت دینامیکی توسط اسکندری قادی [12] و اسکندری قادی و همکاران [13] و دیگران مورد توجه قرار گرفته است. از طرفی دیگر، مسائل تنش تماسی مورد علاقه بسیاری از محققان در زمینه‌ی علوم مهندسی و ریاضیات بوده است. دامنه‌ی کاربرد این مسائل بسیار زیاد است و از آن جمله می‌توان به طراحی فونداسیون در سازه‌های سنگین، مهندسی روسازی، آزمایش‌های تعیین میزان تغییر مکان در سطح تماس دو محیط، اندرکنش بین دو سطح و کاربرد آنها در علم مکانیک

اشاره کرد. بسته به میزان سختی نسبی مصالح در سطح تماس آنها، هندسه‌ی ناحیه‌ی تماس و بارگذاری وارد، مسائل غیرخطی بسیاری می‌تواند مطرح شود و شامل تماس سطوح صلب - الاستیک و الاستیک - الاستیک می‌باشد که توزیع تنش تماسی در آنها ممکن است به صورت یکنواخت یا به صورت سینگولار باشد. در زمینه اندرکنش صفحه‌ی صلب و محیط ایزوتروپ جانبی در حالت استاتیکی و دینامیکی تحقیقاتی صورت گرفته است که می‌توان از تحقیقات اسکندری قادی و اردشیر بهرستاقی [۲] و [14, 15, 16, 17] به‌عنوان نمونه نام برد. در یک حالت خاص از این‌گونه مسائل می‌توان به بررسی مسئله‌ی تنش تماسی در سطح بدون قابلیت تحمل کشش بین یک محیط الاستیک و یک صفحه‌ی انعطاف‌پذیر تحت اثر بار متمرکز مرکزی قرار گرفته بر روی آن، پرداخت.

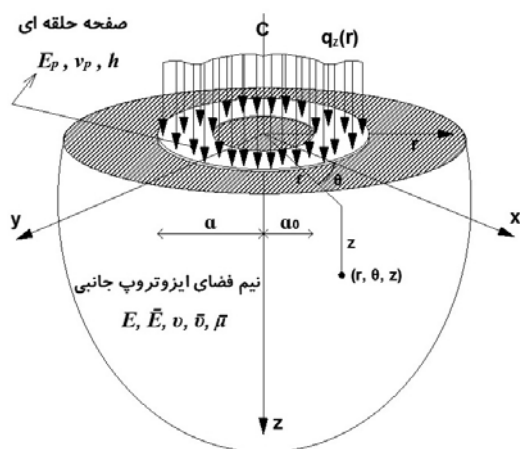
تحلیل یک صفحه‌ی دایره‌ای و فونداسیون وینکلر (Winkler) توسط تیموشنکو و وینوسکی در سال ۱۹۵۹ توضیح داده شده است [30]. ویتسمن در سال ۱۹۶۹ یک راه حل تقریبی برای تعیین شعاع تماس بین یک صفحه‌ی الاستیک و یک نیم‌فضای الاستیک ارائه داد [32]. او در مطالعه خود صفحه‌ی دایره‌ای را در سطح تماس بدون قید و تحت اثر یک بار متمرکز در وسط در نظر گرفت. هم‌چنین او در سال ۱۹۷۱ به بررسی یک تیر اویلر - برنولی (Euler-Bernoulli) تحت بار متمرکز متحرک قرار گرفته بر روی یک فونداسیون بدون قابلیت تحمل کشش پرداخت [33]. او در این مطالعه به این نتیجه رسید که میزان دامنه‌ی بارگذاری و سرعت حرکت بار بر روی ناحیه‌ی جدایی تیر از فونداسیون تأثیر بسزایی دارد. او در ادامه‌ی مطالعات خود، در سال ۱۹۷۲ به محاسبه‌ی تقریبی فاصله‌ی نقطه‌ی اثر بارگذاری روی یک تیر الاستیک قرار گرفته بر روی یک نیم‌فضای الاستیک بدون خمش پرداخت [34]. در ادامه گلدول و ایبر در سال ۱۹۷۴ به بررسی تماس بدون قابلیت تحمل کشش بین یک صفحه‌ی

قرار گرفته است. بدین منظور ابتدا با اعمال نیروی قائم رینگی به صفحه و حل معادله‌ی دیفرانسیل حاکم بر صفحه، تابع گرین تغییر مکان قائم صفحه‌ی دایره‌ای به دست می‌آید. در ادامه‌ی معادلات حاکم بر نیم‌فضای ایزوتروپ جانبی در سیستم مختصات استوانه‌ای شامل معادلات تعادل، روابط تنش- کرنش یا معادلات رفتاری و روابط کرنش- تغییر مکان بیان شده و در ادامه معادلات تعادل بر حسب مؤلفه‌های بردار تغییر مکان به دست می‌آیند. این معادلات شامل دو معادله‌ی دیفرانسیل درگیر با مشتقات جزئی می‌باشند که برای مجزاسازی آنها از تابع پتانسیل لختیستکی استفاده می‌شود. در ادامه به کمک تبدیل انتگرالی هنکل، مؤلفه‌های بردار تغییر مکان در فضای تبدیل یافته برای نیروی قائم با توزیع رینگی به دست می‌آید و با اعمال تبدیل معکوس هنکل، توابع گرین تغییر مکان قائم و افقی نیم‌فضا به دست می‌آید و با کمک تابع گرین تغییر مکان قائم صفحه‌ی انعطاف‌پذیر و نیز شرایط پیوستگی موجود در سطح تماس آنها طریقه‌ی به دست آوردن معادلات انتگرالی دوگانه مورد بحث قرار می‌گیرد. با توجه به انعطاف‌پذیر بودن صفحه، ناحیه‌ای از صفحه از نیم‌فضای زیرین وابسته به نوع بارگذاری و سختی نسبی صفحه و نیم‌فضا جدا می‌شود. شعاع این ناحیه به روش سعی و خطا تعیین می‌شود. سپس معادله‌ی انتگرالی به دست آمده با استفاده از روش المان‌های محدود و به کارگیری المان‌های رینگی با توزیع ثابت فشار حل می‌شود. از نتایج حاصل، فشار زیر صفحه‌ی انعطاف‌پذیر تعیین شده و از آن اندازه نیروی تماسی در اثر تحریک وارد به صفحه به دست می‌آید. نشان داده می‌شود که نتایج به دست آمده از این روش برای مواد ایزوتروپ در حالتی که سختی صفحه به سمت بی‌نهایت میل کند (صفحه‌ی صلب)، بر نتایج قبلی ارائه شده توسط لوکو و میتا [23] و در حالتی که سختی صفحه محدود است (صفحه‌ی انعطاف‌پذیر)، بر نتایج ارائه شده توسط پک و همکاران [26] منطبق است. اثر میزان نایزوتروپی بر رفتار اندرکنش صفحه‌ی

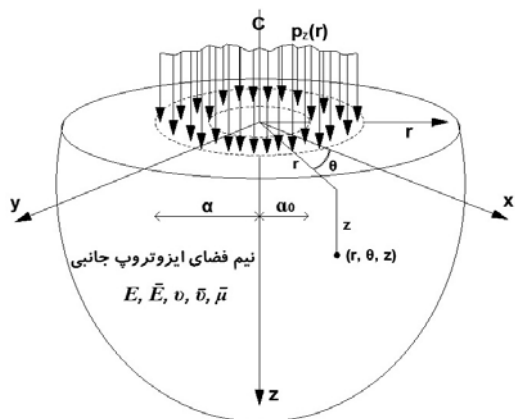
دایره‌ای الاستیک و نیم‌فضای ایزوتروپ پرداختند [19]. آنها بارگذاری وارد بر روی صفحه را به صورت گسترده و متقارن در نظر گرفتند و برای تحلیل نیم‌فضا از تبدیل انتگرالی هنکل و برای تحلیل صفحه از تئوری کریشهف (Kirchhoff) و ریسنر (Reissner) استفاده کردند. در ادامه آنها با استفاده از پیوستگی تغییر مکان در نقاط مختلفی از ناحیه‌ی تماس، مقدار تنش تماسی را بر حسب بارگذاری وارد و سختی نسبی بین صفحه و فونداسیون تعیین کردند. سیلیپ [3, 4, 6]، سیلیپ و همکاران [5]، سیلیپ و دمیر [7, 8] و سیلیپ و گولر [9] مطالعاتی بروی مسائل استاتیکی و ارتعاشات هارمونیک دینامیکی بر روی تیر، صفحات دایره‌ای و مستطیلی قرار گرفته بر روی فونداسیون‌های بدون قابلیت تحمل کشش از نوع وینکلر و الاستیک انجام داده‌اند. به عنوان مثال، سیلیپ و گولر در سال ۲۰۰۷ به تعیین پاسخ استاتیکی و دینامیکی صفحه‌ی دایره‌ای قرار گرفته بر روی فونداسیون بدون اصطکاک با تعریف دو پارامتر پرداختند. آنها در تحقیقاتشان، تنش تماسی  $p$  را به صورت دو پارامتری به شکل  $k_w w - k_s \nabla^4 w$  تعریف کردند که  $k_s$  و  $k_w$  دو پارامتر برای مدل‌سازی اثر خاک زیرین فونداسیون و  $w$  تغییر مکان فونداسیون می‌باشد. پک و همکاران در سال ۲۰۰۸ به تحلیل کامل تماس بدون قابلیت تحمل کشش یک صفحه‌ی انعطاف‌پذیر دایره‌ای قرار گرفته بر روی نیم‌فضای ایزوتروپ پرداختند. آنها مسأله‌ی تماس انعطاف‌پذیر بدون کشش را توسط معادلات انتگرالی و شرایط مرزی و پیوستگی حاکم بر مسأله‌ی مدل‌سازی کردند و شعاع ناحیه‌ی تماس را به عنوان یک مجهول اضافه به روش سعی و خطا محاسبه نمودند [26].

تا جایی که نویسندگان مطلع هستند، اندرکنش صفحه‌ی انعطاف‌پذیر و محیط ایزوتروپ جانبی بررسی نشده است. لذا در این مقاله این موضوع مورد توجه

در نقاط مختلف صفحه و نیم‌فضا به دست می‌آیند.



شکل ۱ صفحه‌ی حلقه‌ای انعطاف‌پذیر مستقر بر نیم‌فضا



شکل ۲ اثر تنش تماسی صفحه‌ی حلقه‌ای بر روی نیم‌فضا

### تعیین تابع گرین بار رینگی حاکم بر صفحه

صفحه‌ی حلقه‌ای تحت اثر بارگذاری قائم متقارن محوری  $q_z(r)$  و واکنش بستر  $p_z(r)$  در نظر گرفته می‌شود. معادله‌ی دیفرانسیل حاکم بر صفحه برای تغییر مکان عمودی  $w_p(r)$  با فرض تغییر مکان‌های کوچک در دستگاه مختصات استوانه‌ای به صورت زیر می‌باشد [29]:

$$\nabla^4 w_p(r) = \left( \frac{d^2}{dr^2} + \frac{1}{r} \frac{d}{dr} \right) \left( \frac{d^2 w_p(r)}{dr^2} + \frac{1}{r} \frac{dw_p(r)}{dr} \right) = \frac{\omega(r)}{D}, \quad (1)$$

انعطاف‌پذیر و نیم‌فضا به کمک جداول و گراف‌هایی نشان داده می‌شوند.

### چگونگی حل مسأله

صفحه‌ی حلقه‌ای انعطاف‌پذیر به شعاع داخلی  $a_0$  و شعاع خارجی  $a$  مستقر بر نیم‌فضای ایزوتروپ جانبی تحت اثر بارگذاری قائم متقارن محوری  $q_z(r)$  و تنش تماسی  $p_z(r)$  در نظر گرفته می‌شود (شکل ۱ و ۲).  $E_p$  مدول یانگ،  $\nu_p$  ضریب پواسون و  $h$  ضخامت صفحه می‌باشد.  $\alpha$  شعاعی است که تا قبل از آن صفحه و نیم‌فضا با هم در تماس بودند و بعد از آن صفحه از نیم‌فضا جدا خواهد شد. فرض می‌شود که تئوری کریشف بر صفحه حاکم و هم‌چنین سطح تماس صفحه و نیم‌فضا بدون قابلیت تحمل کشش باشد. در ابتدا معادله‌ی حاکم به صورت کلی برای صفحه‌ی حلقه‌ای تحت اثر بار رینگی اعمال شده در شعاع  $r'$  حل می‌شود و پس از تعیین ضرایب ثابت حاصل از انتگرال‌گیری، تابع گرین حاکم بر تغییر مکان قائم صفحه‌ی حلقه‌ای به دست می‌آید. در ادامه برای داشتن این تابع در حالت صفحه‌ی دایره‌ای کامل با میل دادن شعاع داخلی  $a_0$  به سمت صفر، ضرایب برای صفحه‌ی کامل به دست می‌آید و از آن تابع گرین تغییر مکان قائم صفحه‌ی دایره‌ای به دست می‌آید. سپس معادلات تعادل حاکم بر نیم‌فضای ایزوتروپ جانبی در نظر گرفته می‌شود و با اعمال بار رینگی، تابع گرین مؤلفه‌های تغییر مکان و تنش به دست می‌آید و در ادامه با استفاده از شرایط پیوستگی تغییر مکان قائم، تابع تنش تماسی صفحه  $(p_z(r))$  با حل معادلات انتگرالی حاکم بر مسأله و با استفاده از روش المان‌های رینگی تعیین خواهند شد. در ادامه با داشتن تابع تنش تماسی، مقدار شعاع تماس  $\alpha$  به عنوان مجهول اضافه با سعی و خطا قابل محاسبه خواهد بود و از روابط تنش-تابع پتانسیل و تغییر مکان-تابع پتانسیل، مقادیر تغییر مکان و تنش

که در آن :

$$D = \frac{E_p h^3}{12(1-\nu_p^2)} \quad (2)$$

و  $\omega(r) = q_z(r) - p_z(r)$  برآیند بارگذاری قائم وارد بر هر نقطه از صفحه می‌باشد. با در نظر گرفتن قرارداد علامت مطابق شکل (۳) گشتاور خمشی و نیروی برشی شعاعی صفحه به صورت زیر می‌باشند [29]:

$$M_r(r) = -D \left( \frac{d^2 w_p(r)}{dr^2} + \frac{\nu_p}{r} \frac{dw_p(r)}{dr} \right) \quad (3)$$

$$V_r(r) = -D \left( \frac{d^3 w_p(r)}{dr^3} + \frac{1}{r} \frac{d^2 w_p(r)}{dr^2} - \frac{1}{r^2} \frac{dw_p(r)}{dr} \right) \quad (4)$$

به منظور به دست آوردن تابع گرین صفحه، به جای

$$\omega(r) \text{ بار رینگی عمودی با شدت } \frac{1}{2\pi r'} \text{ در شعاع } r'$$

به صورت زیر و مطابق شکل (۴) در نظر گرفته می‌شود:

$$\omega(r) = \frac{\delta(r-r')}{2\pi r'} \quad (5)$$

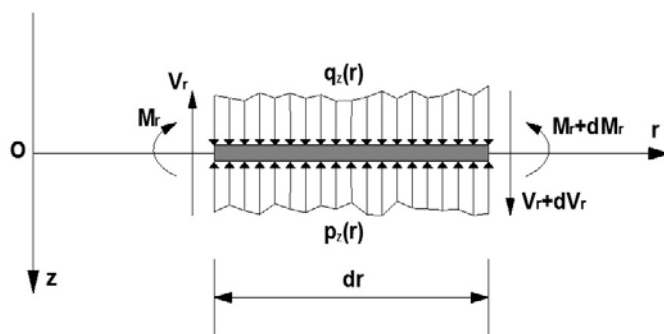
که در آن  $\delta$  تابع دلتای دیراک می‌باشد.

با تقسیم دامنه‌ی شعاعی صفحه به دو ناحیه با

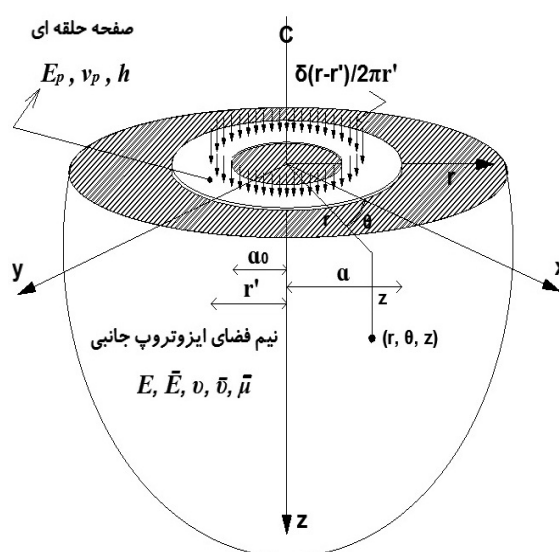
فصل مشترک در شعاع  $r'$ ، به صورت زیر:

$$R_1 = \{(r, \theta) | 0 \leq \theta < 2\pi, a_0 < r < r'\} \quad (6)$$

$$R_2 = \{(r, \theta) | 0 \leq \theta < 2\pi, r' < r < a\} \quad (7)$$



شکل ۳ المان دیفرانسیلی صفحه‌ی تحت اثر بارگذاری قائم وارد بر آن در مختصات شعاعی



شکل ۴ صفحه‌ی حلقه‌ای انعطاف‌پذیر تحت اثر بار رینگی وارد بر آن در شعاع  $r'$

با حل دستگاه معادلات فوق، ضرایب  $C_1$  الی  $C_8$  برای صفحه‌ی حلقه‌ای به صورت:

$$\begin{aligned}
 C_1 &= \frac{-1}{8\pi D} \\
 C_2 &= \frac{a_0^2(2a^2(v_p+1)(\ln r' - \ln a_0) + (v_p-1)(a^2 - r'^2))}{8\pi D(a^2 - a_0^2)(1 - v_p)} \\
 C_3 &= \frac{1}{16\pi D(a^2 - a_0^2)(v_p+1)} \left[ 2(1+v_p)(a^2 \ln r' - a_0^2 \ln a_0) - \right. \\
 &\quad \left. a_0^2(v_p+3) + 2a^2(v_p+1) + r'^2(1-v_p) \right] \\
 C_4 &= \frac{a_0^2}{16\pi D(a^2 - a_0^2)(v_p^2-1)} \left[ 2a^2(2\ln a_0 \ln r'(v_p^2+2v_p+1) + \right. \\
 &\quad 2\ln a_0(v_p^2 - v_p^2 \ln a_0 - 2v_p \ln a_0 - \ln a_0 - 1) + (1 - v_p^2)(1 + \ln r')) + \\
 &\quad \left. r'^2(2\ln a_0(1 - v_p^2) + v_p(v_p - 2) + 1) + a_0^2(v_p^2 + 2v_p - 3) \right] \\
 C_5 &= 0 \\
 C_6 &= \frac{a^2(2a_0^2(v_p+1)(\ln r' - \ln a_0) + (v_p-1)(a_0^2 - r'^2))}{8\pi D(a^2 - a_0^2)(1 - v_p)} \\
 C_7 &= \frac{1}{16\pi D(a^2 - a_0^2)(v_p+1)} \left[ 2a_0^2(1+v_p)(\ln r' - \ln a_0) + \right. \\
 &\quad \left. (a_0^2 - r'^2)(v_p - 1) \right] \\
 C_8 &= \frac{1}{16\pi D(a^2 - a_0^2)(v_p^2-1)} \left[ 2a^2(a_0^2(-2v_p(\ln a_0)^2(v_p+2) + \right. \\
 &\quad 2v_p^2 \ln a_0 - v_p^2 \ln r' + 2\ln a_0 \ln r'(v_p^2+2v_p+1) - 2(\ln a_0)^2 + \\
 &\quad \ln r' - 2\ln a_0 - v_p^2 + 1) + r'^2(\ln r'(1 - v_p^2) + v_p^2 - 1) + \\
 &\quad \left. a_0^2(a_0^2(v_p^2+2v_p-3) + r'^2(2(\ln a_0 - \ln r')(1 - v_p^2) - v_p^2 - 2v_p + 3)) \right] \quad (12)
 \end{aligned}$$

به دست می‌آیند. با جای‌گذاری این ضرایب در روابط (۸) و (۹)، تابع گرین تغییرمکان قائم صفحه‌ی حلقه‌ای در شعاع  $r$  ناشی از بار رینگی قائم در شعاع  $r'$  به صورت زیر به دست می‌آید:

جواب معادله‌ی دیفرانسیل مرتبه‌ی چهارم حاکم بر صفحه در این دو ناحیه به صورت زیر به دست می‌آید:

$$w_p^1(r) = C_1 r^2 \ln r + C_2 \ln r + C_3 r^2 + C_4, \quad r \in R_1 \quad (8)$$

$$w_p^2(r) = C_5 r^2 \ln r + C_6 \ln r + C_7 r^2 + C_8, \quad r \in R_2 \quad (9)$$

در روابط فوق مقادیر  $C_1$  الی  $C_8$ ، ضرایب ثابت حاصل از انتگرال‌گیری می‌باشند که با استفاده از شرایط مرزی و پیوستگی حاکم بر صفحه تعیین خواهند شد. با توجه به توضیحات فوق و با در نظر گرفتن شرایط گشتاور خمشی و نیروی برشی صفر در  $r = a$ ، تغییرمکان و گشتاور خمشی صفر در  $r = a_0$ ، پیوستگی تغییرمکان، شیب، گشتاور خمشی و نیروی برشی در  $r = r'$ ، شرایط مرزی و پیوستگی حاکم بر صفحه‌ی حلقه‌ای به صورت:

$$\begin{aligned}
 w_p^1(a_0) = 0, \quad M_r^1(a_0) = 0, \quad M_r^2(a) = 0, \\
 V_r^2(a) = 0, \quad w_p^1(r') = w_p^2(r'), \quad M_r^1(r') = M_r^2(r'), \\
 \frac{d}{dr} w_p^1(r) \Big|_{r=r'} = \frac{d}{dr} w_p^2(r) \Big|_{r=r'}, \quad V_r^1(r') - V_r^2(r') = \frac{1}{2\pi r'} \quad (10)
 \end{aligned}$$

می‌باشند. با جای‌گذاری روابط (۳)، (۴)، (۸) و (۹) در روابط فوق، دستگاه معادلات حاکم بر ضرایب  $C_1$  الی  $C_8$  به صورت زیر نوشته می‌شوند:

$$\begin{aligned}
 C_1 a_0^2 \ln a_0 + C_2 \ln a_0 + C_3 a_0^2 + C_4 &= 0, \\
 C_1(v_p + 3 + 2\ln a_0(1 + v_p)) + C_2 \frac{v_p - 1}{a_0^2} + \\
 2C_3(1 + v_p) &= 0, \\
 C_5(v_p + 3 + 2\ln a_0(1 + v_p)) + C_6 \frac{v_p - 1}{a^2} + \\
 2C_7(1 + v_p) &= 0, \quad \frac{4C_5 D}{a} = 0, \\
 r'^2 \ln r'(C_1 - C_5) + \ln r'(C_2 - C_6) + \\
 r'^2(C_3 - C_7) + C_4 - C_8 &= 0, \\
 (C_1 - C_5)(2\ln r'(1 + v_p) + v_p + 3) + \\
 (C_2 - C_6) \frac{v_p - 1}{r'^2} + 2(C_3 - C_7)(1 + v_p) &= 0, \\
 (C_1 - C_5)r'(2\ln r' + 1) + \frac{C_2 - C_6}{a^2} + 2r'(C_3 - C_7) &= 0, \\
 \frac{4D}{r'}(C_5 - C_1) - \frac{1}{2\pi r'} &= 0, \quad (11)
 \end{aligned}$$

### تعیین تابع گرین بار رینگی حاکم بر نیم فضا

نیم فضای ایزوتروپ جانبی که محل نشیمن صفحه می باشد طوری در نظر گرفته می شود که محور ایزوتروپی آن عمود بر سطح نشیمن صفحه باشد. دستگاه مختصات استوانه ای  $(\rho; r, \theta, z)$  طوری قرار داده می شود که در آن امتداد  $z$  موازی محور ایزوتروپی باشد و نیم فضا با  $z > 0$  تعریف شود. معادلات تعادل برحسب تغییر مکان در شرایط متقارن محوری و برای حالتی که نیروهای حجمی وجود نداشته باشد به صورت زیر نوشته می شود [22]:

$$A_{11} \left( \frac{\partial^2 u}{\partial r^2} + \frac{1}{r} \frac{\partial u}{\partial r} - \frac{u}{r^2} \right) + A_{44} \frac{\partial^2 u}{\partial z^2} + (A_{13} + A_{44}) \frac{\partial^2 w}{\partial r \partial z} = 0$$

$$A_{33} \frac{\partial^2 w}{\partial z^2} + A_{44} \left( \frac{\partial^2 w}{\partial r^2} + \frac{1}{r} \frac{\partial w}{\partial r} \right) + (A_{13} + A_{44}) \left( \frac{\partial^2 u}{\partial r \partial z} + \frac{1}{r} \frac{\partial u}{\partial z} \right) = 0 \quad (17)$$

در این رابطه  $u$  و  $w$  مؤلفه های بردار تغییر مکان به ترتیب در امتدادهای  $r$  و  $z$  هستند و ضرایب ارتجاعی می باشند که تانسور تنش  $\sigma_{ij}$  را به تانسور کرنش  $\epsilon_{ij}$  مربوط می سازند [22]:

$$\sigma_{rr} = A_{11} \epsilon_{rr} + A_{13} \epsilon_{zz}, \quad \sigma_{\theta\theta} = A_{12} \epsilon_{rr} + A_{13} \epsilon_{zz},$$

$$\sigma_{zz} = A_{13} \epsilon_{rr} + A_{33} \epsilon_{zz}, \quad \sigma_{rz} = 2A_{44} \epsilon_{rz}. \quad (18)$$

ضریب اضافی  $A_{66}$  به صورت  $A_{66} = (A_{11} - A_{12})/2$  تعریف می شود. این ضریب در ادامه به منظور نرمال کردن ضرایب استفاده خواهد شد. ضرایب ارتجاعی  $A_{ij}$  به صورت زیر برحسب ضرایب مهندسی نوشته می شوند [22]:

$$A_{11} = \frac{E(1 - \frac{E}{E} \bar{\nu}^2)}{(1 + \nu)(1 - \nu - 2\frac{E}{E} \bar{\nu}^2)}, \quad A_{13} = \frac{E \bar{\nu}}{1 - \nu - 2\frac{E}{E} \bar{\nu}^2},$$

$$A_{33} = \frac{\bar{E}(1 - \nu)}{1 - \nu - 2\frac{E}{E} \bar{\nu}^2}, \quad A_{44} = \bar{\mu}, \quad A_{66} = \frac{E}{2(1 + \nu)} = \mu. \quad (19)$$

$$\bar{w}_p^{annu}(r; r') = (C_1 r^2 \ln r + C_2 \ln r + C_3 r^2 + C_4) \times H(r' - r) + (C_5 r^2 \ln r + C_6 \ln r + C_7 r^2 + C_8) \times H(r - r'). \quad (13)$$

که در آن  $H(\cdot)$  تابع هویساید است و ضرایب  $C_1$  الی  $C_8$  در رابطه ی (۱۲) تعریف شده اند. اگر شعاع داخلی  $a_0$  به صورت حدی برابر صفر در نظر گرفته شود، ضرایب  $C_1$  الی  $C_8$  برای صفحه ی دایره ای به صورت زیر به دست می آیند:

$$C_1 = \frac{-1}{8\pi D}, \quad C_2 = 0,$$

$$C_3 = \frac{2a^2 (\ln r' (v_p + 1) + v_p + 1) + r'^2 (1 - v_p)}{16\pi D a^2 (v_p + 1)}, \quad C_4 = 0,$$

$$C_5 = 0, \quad C_6 = \frac{r'^2}{8\pi D}, \quad C_7 = \frac{-r'^2 (v_p - 1)}{16\pi D a^2 (v_p + 1)},$$

$$C_8 = \frac{-r'^2 (\ln r' - 1)}{8\pi D}. \quad (14)$$

با جای گذاری ضرایب فوق در روابط (۸) و (۹)، تابع گرین تغییر مکان قائم صفحه ی دایره ای در شعاع  $r$  ناشی از بار رینگی قائم در شعاع  $r'$  به صورت زیر به دست می آید:

$$\bar{w}_p^{solid}(r; r') = \left( \frac{2a^2 (\ln r' (v_p + 1) + v_p + 1) + r'^2 (1 - v_p)}{16\pi D a^2 (v_p + 1)} r^2 - \frac{r^2 \ln r}{8\pi D} \right) \times H(r' - r) + \left( \frac{r'^2 \ln r}{8\pi D} - \frac{r'^2 (v_p - 1)}{16\pi D a^2 (v_p + 1)} r^2 - \frac{r'^2 (\ln r' - 1)}{8\pi D} \right) \times H(r - r'). \quad (15)$$

با استفاده از تابع گرین تغییر مکان قائم صفحه دایره ای (رابطه ی ۱۵) و نظریه ی تقابل بتی [20]، تغییر مکان عمودی این صفحه تحت اثر برآیند نیروهای ناشی از بار قائم خارجی و تابع تنش تماسی به صورت رابطه ی انتگرالی زیر بیان می شود:

$$w_p(r) = w_p(0) + \int_0^a \bar{w}_p^{solid}(r; r') [q_z(r') - p_z(r')] dr',$$

$$0 < r < a \quad (16)$$

که در آن:

$$\bar{\nabla}_i^2 = \nabla^2 + \frac{1}{s_i^2} \frac{\partial^2}{\partial z^2}, \quad (i=1,2). \quad (24)$$

و پارامترهای  $s_1^2$  و  $s_2^2$  ریشه‌های معادله‌ی زیر هستند:

$$A_{33}A_{44}s^4 + (A_{13}^2 + 2A_{13}A_{44} - A_{11}A_{33})s^2 + A_{11}A_{44} = 0 \quad (25)$$

با توجه به مثبت بودن انرژی کرنشی،  $s_2$  و  $s_1$  می‌توانند اعداد مختلط باشند اما نمی‌توانند اعداد موهومی خالص باشند [22]. به هر حال قسمت حقیقی  $s_2$  و  $s_1$  مثبت هستند. با توجه به هندسه‌ی مسئله و شرایط مسئله در  $r$  های بزرگ از تبدیل هنکل مرتبه‌ی صفر نسبت به امتداد شعاعی به شرح زیر استفاده می‌شود [28]:

$$F^{(0)}(\xi, z) = \int_0^\infty F(r, z) r J_0(\xi r) dr \quad (26)$$

به طوری که تبدیل معکوس هنکل آن عبارتند از:

$$F(r, z) = \int_0^\infty F^{(0)}(\xi, z) \xi J_0(\xi r) d\xi \quad (27)$$

و  $J_0$  تابع بسل نوع اول از مرتبه‌ی صفر می‌باشد. با اعمال عملگر تبدیل هنکل مرتبه صفر به معادله‌ی (۲۳) و استفاده از تعریف (۲۶)، معادله‌ی (۲۳) به صورت زیر درمی‌آید:

$$\bar{\nabla}_1^2 \bar{\nabla}_2^2 F^{(0)}(\xi, z) = 0 \quad (28)$$

که در آن:

$$\bar{\nabla}_i^2 = d^2 / (s_i^2 dz^2) - \xi^2, \quad (i=1,2). \quad (29)$$

معادله‌ی (۲۸) یک معادله‌ی دیفرانسیل معمولی مرتبه‌ی چهارم با ضرایب ثابت می‌باشند. جواب معادله‌ی (۲۸) با توجه به شرایط در دوردست به صورت زیر به دست می‌آید:

$$F^{(0)}(\xi, z) = A(\xi)e^{-s_1 \xi z} + B(\xi)e^{-s_2 \xi z} \quad (30)$$

مطابق شکل (۵) فرض می‌شود نیروی استاتیکی قائم به شدت  $f(r, r')$  روی رینگ  $\pi_0$  به شعاع  $r'$  در  $z=0$  اعمال می‌گردد. این نیرو به صورت زیر در امتداد  $e_z$  تعریف می‌شود:

$$\mathbf{f}(r, r') = \frac{\delta(r-r')}{2\pi r} \mathbf{e}_z, \quad (31)$$

در رابطه‌ی (۱۹)  $E$  معرف مدول یانگ در صفحه‌ی ایزوتروپی،  $\bar{E}$  معرف مدول یانگ عمود بر صفحه‌ی ایزوتروپی،  $\nu$  معرف ضریب پواسون در صفحه‌ی ایزوتروپی،  $\bar{\nu}$  معرف ضریب پواسون امتداد عمود بر صفحه‌ی ایزوتروپی نسبت به هر امتداد در صفحه‌ی ایزوتروپی می‌باشد،  $\mu$  معرف مدول برشی در صفحه‌ی ایزوتروپی و  $\bar{\mu}$  معرف مدول برشی در صفحات عمود بر صفحه‌ی ایزوتروپی می‌باشد. برای مواد همسان (ایزوتروپ) ضرایب ارتجاعی  $A_{ij}$  به صورت ذیل تعریف می‌شوند:

$$A_{11} = A_{33} = \frac{2\mu(1-\nu)}{1-2\nu}, A_{12} = A_{13} = \frac{2\mu\nu}{1-2\nu}, \\ A_{44} = A_{66} = \mu. \quad (20)$$

در روابط فوق،  $\mu$  معرف مدول برشی و  $\nu$  معرف ضریب پواسون می‌باشد.

معادلات تعادل (۱۷) یک دستگاه معادلات دیفرانسیل درگیر با مشتقات جزئی می‌باشند. به منظور مجزاسازی این معادلات از تابع پتانسیل اسکالر لخنیتسکی ( $F$ ) به علت کامل بودن در حالت تقارن محوری و سادگی استفاده می‌شود. مؤلفه‌های بردار تغییر مکان بر حسب تابع پتانسیل  $F$  در دستگاه مختصات استوانه‌ای و در حالت استاتیکی به صورت زیر نوشته می‌شوند [31]:

$$\mathbf{u} = -\alpha_3 \frac{\partial^2 F}{\partial r \partial z}, \quad \mathbf{w} = (1 + \alpha_1) \left[ \nabla^2 + \beta \frac{\partial^2}{\partial z^2} \right] F. \quad (21)$$

که در آن:

$$\alpha_1 = \frac{A_{66} + A_{12}}{A_{66}}, \alpha_2 = \frac{A_{44}}{A_{66}}, \alpha_3 = \frac{A_{13} + A_{44}}{A_{66}}, \\ \beta = \frac{\alpha_2}{1 + \alpha_1}, \nabla^2 = \frac{\partial^2}{\partial r^2} + \frac{1}{r} \frac{\partial}{\partial r}. \quad (22)$$

با قرار دادن روابط (۲۱) در معادلات تعادل (۱۷) معادله‌ی دیفرانسیل حاکم بر تابع پتانسیل  $F$  به صورت زیر در می‌آید:

$$\nabla_1^2 \nabla_2^2 F(r, z) = 0. \quad (23)$$



تنش در فضای هنکل به صورت زیر بر حسب تابع  $F^0$  نوشته می شوند:

$$u^{(1)}(\xi, z) = \alpha_3 \xi \frac{dF^{(0)}}{dz} \quad (36)$$

$$w^{(0)}(\xi, z) = (1 + \alpha_1) \left[ -\xi^2 + \beta \frac{d^2}{dz^2} \right] F^{(0)} \quad (37)$$

$$\sigma_{zz}^{(0)}(\xi, z) = \frac{d}{dz} \left[ \alpha_3 A_{13} \xi^2 - A_{33} \xi^2 (1 + \alpha_1) + A_{33} \alpha_2 \frac{d^2}{dz^2} \right] F^{(0)} \quad (38)$$

$$\sigma_{rz}^{(1)}(\xi, z) = A_{44} \xi \left[ (\alpha_3 - \alpha_2) \frac{d^2}{dz^2} + \xi^2 (1 + \alpha_1) \right] F^{(0)} \quad (39)$$

با جای گذاری تابع  $F^0$  در روابط (۳۶) الی (۳۹)، توابع تغییر مکان و تنش در فضای تبدیل یافته نوشته می شود و با اعمال عملگر تبدیل معکوس، توابع گرین مؤلفه های تغییر مکان و تنش برای نیروی حلقوی در فضای واقعی به صورت زیر به دست می آیند:

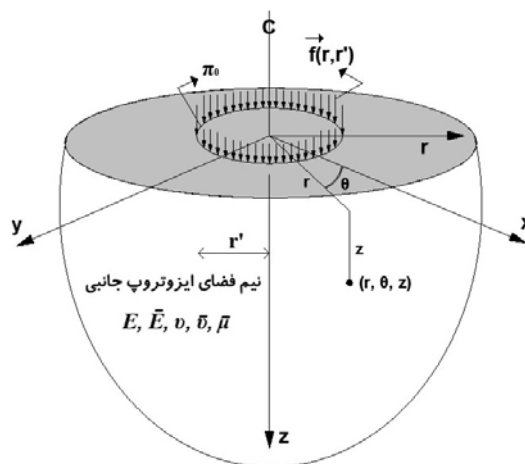
$$\bar{u}_h(r, z, r') = -\alpha_3 \int_0^\infty \xi^3 [s_1 A(\xi) e^{-s_1 \xi z} + s_2 B(\xi) e^{-s_2 \xi z}] J_1(\xi r) d\xi \quad (40)$$

$$\bar{w}_h(r, z, r') = (1 + \alpha_1) \int_0^\infty \xi^3 \left[ \beta (s_1^2 A(\xi) e^{-s_1 \xi z} + s_2^2 B(\xi) e^{-s_2 \xi z}) - (A(\xi) e^{-s_1 \xi z} + B(\xi) e^{-s_2 \xi z}) \right] J_0(\xi r) d\xi \quad (41)$$

$$\bar{\sigma}_{zrh}(r, z, r') = \int_0^\infty -\xi^2 (\alpha_3 A_{13} \xi^2 - A_{33} \xi^2 (1 + \alpha_1)) \times (s_1 A(\xi) e^{-s_1 \xi z} + s_2 B(\xi) e^{-s_2 \xi z}) - A_{33} \alpha_2 \xi^4 \times (s_1^3 A(\xi) e^{-s_1 \xi z} + s_2^3 B(\xi) e^{-s_2 \xi z}) J_0(\xi r) d\xi \quad (42)$$

$$\bar{\sigma}_{rzh}(r, z, r') = A_{44} \int_0^\infty \xi^4 \left[ (\alpha_3 - \alpha_2) (s_1^2 A(\xi) e^{-s_1 \xi z} + s_2^2 B(\xi) e^{-s_2 \xi z}) + (1 + \alpha_1) (A(\xi) e^{-s_1 \xi z} + B(\xi) e^{-s_2 \xi z}) \right] J_1(\xi r) d\xi \quad (43)$$

با استفاده از شرایط مرزی (۳۴) و روابط (۳۷) و (۳۸) ضرایب  $A(\xi)$  و  $B(\xi)$  به صورت زیر بر حسب  $f^{(0)}(\xi, r')$  نوشته می شوند:



شکل ۵ نیم فضای ایزوتروپ جانبی تحت نیرو با توزیع حلقوی مؤثر بر حلقه های به شعاع  $r'$

که تبدیل هنکل آن به صورت زیر می باشد:

$$f^{(0)}(\xi, r') = \frac{J_0(\xi r')}{2\pi} \quad (32)$$

به طور واضح اندازه ی کل نیروی  $f(r, r')$  برابر واحد است:

$$\int_{\theta=0}^{2\pi} \int_{r=0}^{\infty} \frac{\delta(r-r')}{2\pi r} r dr d\theta = 1 \quad (33)$$

شرایط مرزی در  $z=0$  با توجه به رابطه ی (۳۱) و شکل (۵) عبارتند از:

$$\sigma_{rz}(r, z=0; r') = 0, \quad (34)$$

$$\sigma_{zz}(r, z=0; r') = -f(r, r').$$

که در آن  $f(r, r')$  اندازه  $f(r, r')$  است. همان طور که پیشتر نیز استفاده شده است کلیه مؤلفه های تانسور تنش و بردار تغییر مکان در دور دست ( $z \rightarrow \infty$ ) یا ( $r \rightarrow \infty$ ) صفر هستند.

$$\lim_{\sqrt{r^2+z^2} \rightarrow \infty} \sigma_{ij}(r, z) = 0, \quad \lim_{\sqrt{r^2+z^2} \rightarrow \infty} u(r, z) = 0,$$

$$\lim_{\sqrt{r^2+z^2} \rightarrow \infty} w(r, z) = 0. \quad (35)$$

شرایط مرزی داده شده در روابط (۳۴) باید در فضای تبدیل یافته نوشته شوند تا با جایگزینی معادله (۳۰) در آنها بتوان توابع  $A(\xi)$  و  $B(\xi)$  را به دست آورد. بدین منظور مؤلفه های بردار تغییر مکان و تانسور

از آن جایی که ناحیه‌ی تماس قابلیت انتقال کشش ندارد و با توجه به شرایط پیوستگی جابه‌جایی عمودی صفحه و نیم‌فضا، روابط زیر در ناحیه تماس برای صفحه دایره‌ای حاکم می‌باشند:

$$w_h(r, 0) = w_p(r), \quad 0 \leq r < \alpha \quad (51)$$

$$p_z(r) \geq 0, \quad 0 \leq r < \alpha \quad (52)$$

برای اطمینان از عدم نفوذ صفحه در داخل نیم‌فضا در ناحیه‌ی بلندشدگی ( $\alpha < a$ ) رابطه‌ی زیر نیز باید برقرار باشد:

$$w_h(r, 0) > w_p(r), \quad p_z(r) = 0, \quad \alpha \leq r < a \quad (53)$$

اگر تماس صفحه و نیم‌فضا به صورت کامل برقرار باشد به عبارت دیگر اگر کلیه‌ی نیروهای تماسی در همه جای ناحیه‌ی اتصال فشاری باشد،  $a$  در روابط (51) الی (53) جایگزین  $\alpha$  می‌شود.

با توجه به روابط (16) و (48)، رابطه‌ی (51)

به صورت زیر نوشته می‌شود:

$$w_p(0) + \int_0^a \bar{w}_p^{\text{solid}}(r; r') q_z(r') dr' - \int_0^a \bar{w}_p^{\text{solid}}(r; r') p_z(r') dr' = \int_0^a \bar{w}_h(r, 0; r') p_z(r') dr', \quad 0 \leq r < \alpha. \quad (54)$$

که در آن تابع گرین تغییرمکان قائم صفحه‌ی حلقه‌ای می‌باشد. رابطه‌ی (54) می‌تواند به صورت زیر نیز نوشته شود:

$$\int_0^a [\bar{w}_h(r, 0; r') + \bar{w}_p^{\text{solid}}(r; r')] p_z(r') dr' - w_p(0) = \int_0^a \bar{w}_p^{\text{solid}}(r; r') q_z(r') dr', \quad 0 \leq r < \alpha. \quad (55)$$

برای در نظر گرفتن شرایط تعادل کلی صفحه در امتداد قائم باید مجموع نیروهای خارجی در تعادل با تنش تماسی صفحه باشد. بنابراین رابطه‌ی زیر نیز باید برقرار باشد:

$$F_z = 2\pi \int_0^a r' q_z(r') dr' = 2\pi \int_0^a r' p_z(r') dr' \quad (56)$$

$$A(\xi) = \frac{-f^{(0)}(\xi, r') \eta_2(\xi)}{I(\xi) A_{33}} \quad (44)$$

$$B(\xi) = \frac{f^{(0)}(\xi, r') \eta_1(\xi)}{I(\xi) A_{33}} \quad (45)$$

که در آن:

$$\eta_1(\xi) = (1 + \alpha_1 - \alpha_2 s_2^2 + \alpha_3 s_2^2) \xi^2,$$

$$\eta_2(\xi) = (1 + \alpha_1 - \alpha_2 s_1^2 + \alpha_3 s_1^2) \xi^2,$$

$$\lambda_1(\xi) = s_2 \xi, \quad \lambda_2(\xi) = s_1 \xi,$$

$$\varphi_1(\xi) = \alpha_2 \lambda_1(\xi)^2 - \xi^2 (1 + \alpha_1),$$

$$\varphi_2(\xi) = \alpha_2 \lambda_2(\xi)^2 - \xi^2 (1 + \alpha_1),$$

$$v_1(\xi) = (1 + \alpha_1 - \alpha_2 s_2^2 - \alpha_3 \frac{A_{13}}{A_{33}}) s_2 \xi^3,$$

$$v_2(\xi) = (1 + \alpha_1 - \alpha_2 s_1^2 - \alpha_3 \frac{A_{13}}{A_{33}}) s_1 \xi^3,$$

$$I(\xi) = \eta_2(\xi) v_1(\xi) - \eta_1(\xi) v_2(\xi). \quad (46)$$

با استفاده از توابع گرین مؤلفه‌های تغییرمکان و تنش نیم‌فضا (روابط 40 الی 43) تغییرمکان‌ها و تنش‌های نیم‌فضا تحت اثر تنش تماسی صفحه در فضای واقعی به صورت روابط انتگرالی زیر بیان می‌شوند:

$$u_h(r, z) = \int_0^a \bar{u}_h(r, z; r') p_z(r') dr', \quad (47)$$

$$w_h(r, z) = \int_0^a \bar{w}_h(r, z; r') p_z(r') dr', \quad (48)$$

$$\sigma_{zh}(r, z) = \int_0^a \bar{\sigma}_{zh}(r, z; r') p_z(r') dr', \quad (49)$$

$$\sigma_{rz}(r, z) = \int_0^a \bar{\sigma}_{rz}(r, z; r') p_z(r') dr'. \quad (50)$$

**معادلات انتگرالی و شرایط پیوستگی حاکم بر مسأله**  
برای در نظر گرفتن شرایط فیزیکی مسأله، فرض می‌شود که ناحیه‌ی تماس صفحه و نیم‌فضا به صورت یکنواخت بدون قابلیت تحمل کشش باشد. همچنین به دلیل داشتن لبه‌ی آزاد در صفحه‌ی دایره‌ای (شعاع  $\alpha$ )، یک شعاع بلندشدگی ( $\alpha$ ) وجود خواهد داشت.

به‌خصوص در لبه‌های خارجی صفحه عرض هر المان از رابطه‌ی زیر محاسبه می‌گردد:

$$L_i = \left( \frac{(N+1-i)^m}{\sum_{k=1}^N k^m} \right) a, \quad (i = 1, 2, 3, \dots, N) \quad (57)$$

که در آن  $m$  ثابت دلخواهی می باشد. به‌ازای  $m=0$  تمام المان‌ها عرض ثابتی خواهند داشت و با افزایش مقدار  $m$ ، عرض المان‌ها با نزدیک شدن به لبه‌ی صفحه کاهش خواهد یافت. این ویژگی شرایط تکینگی به‌خصوص در لبه‌ی خارجی صفحه‌ی صلب دایره‌ای را ارضا خواهد کرد.

در این صورت، تغییرمکان هر نقطه از محیط با مختصات  $M(r, z)$  برابر:

$$W(M) = \sum_{i=1}^N W_i(M) \quad (58)$$

می‌باشد، به‌طوری که  $W_i(M)$  تغییرمکان نقطه‌ی  $M$  به‌علت فشار حلقوی  $p_i$  مؤثر بر حلقه‌ای به شعاع  $\bar{r}_i$  و به پهنای  $L_i$  است. از آن‌جایی که  $p_i$  ثابت می‌باشد،  $W_i(M)$  با استفاده از رابطه‌ی (۴۸) برابر است با:

$$W_i(M) = p_i \bar{W}_i(M) = p_i \int_{m_i}^{n_i} \bar{w}_h(r, z; r') dr',$$

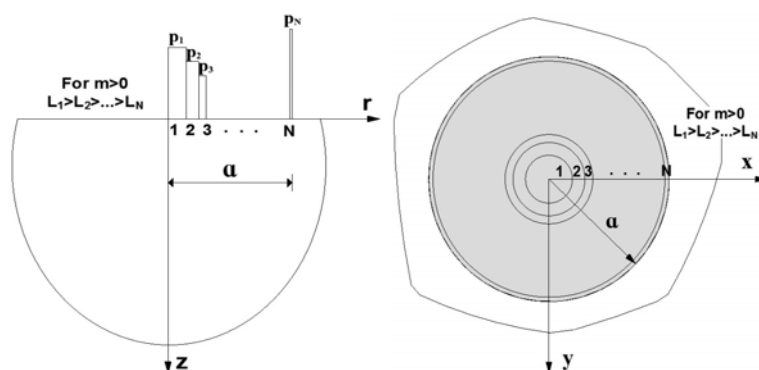
$$m_i = \sum_{j=1}^i L_j - L_i, \quad n_i = \sum_{j=1}^i L_j, \quad (i = 1, 2, 3, \dots, 2N). \quad (59)$$

همراه با محدودیت‌های ذکر شده در روابط (۵۲) و (۵۳) معادلات انتگرالی (۵۵) و (۵۶) با متغیرهای  $w_p(0)$  و  $p_z(r)$  تشکیل یک سیستم معادلات انتگرالی حاکم بر مسائل تماسی در حالت متقارن محوری را می‌دهد. هم‌چنین برای مسائل تماسی بدون قابلیت تحمل کشش، مقدار شعاع تماس  $\alpha$  در نقطه‌ای رخ می‌دهد که باید به‌عنوان مجهول اضافه در حین تحلیل مسأله تعیین شود.

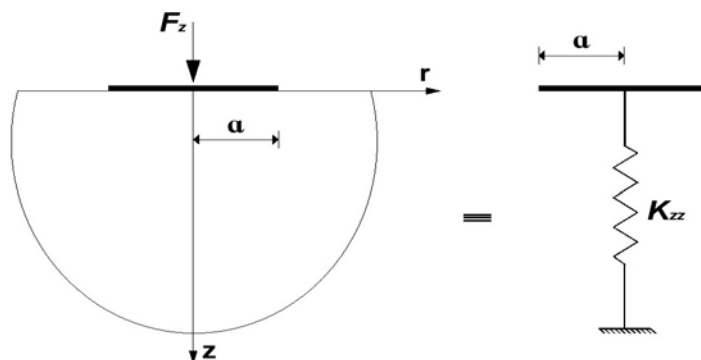
حل تحلیلی معادلات (۵۵) و (۵۶) بسیار مشکل است و به همین علت تحقیقات چندانی در این زمینه وجود ندارد. در ادامه با استفاده از روش المان‌های رینگی، مقدار واکنش بستر  $p_z(r)$  که مجهول اصلی این معادلات می‌باشد به‌دست می‌آید و از آن می‌توان با استفاده از روابط موجود، مقادیر تغییرمکان و تنش صفحه و نیم‌فضا را در هر نقطه‌ی دلخواه به‌دست آورد.

### روش المان‌های رینگی

برای تحلیل نیم‌فضای ایزوتروپ جانبی تحت اثر صفحه‌ی انعطاف‌پذیر دایره‌ای به شعاع  $a$ ، نیم‌فضای مورد نظر تحت  $N$  تابع فشار رینگی با شدت ثابت  $p_i$ ، مؤثر بر حلقه‌ای به شعاع مرکزی  $\bar{r}_i$  و عرض  $L_i$  قرار می‌گیرد به‌طوری که  $N$  تعداد حلقه‌هایی می‌باشد که تحت فشار حلقوی قرار دارند (شکل‌های ۶). به‌منظور انجام محاسبات دقیق‌تر



شکل ۶ نیم‌فضای ایزوتروپ جانبی تحت فشار با توزیع حلقوی مؤثر بر  $N$  حلقه با پهنای متغیر در صفحه‌ی دایره‌ای



شکل ۷ نمایش شماتیک فنر معادل نیم‌فضا برای صفحه‌ی صلب دایره‌ای به شعاع  $a$

به صورت عددی برآورد می‌شوند. برآورد عددی انتگرال‌های ارائه‌شده در بخش‌های قبلی نیاز به دقت خاصی دارد، چرا که حد بالای انتگرال تابع گرین مربوط به نیم‌فضا محدود نیست و باید با دقت مناسب تعیین شود. برای برآورد عددی، ۵ نوع ماده مطابق جدول (۱) در نظر گرفته می‌شود. در این جدول دو ماده‌ی اول ایزوتروپ با ضرایب پواسون ۰/۲۵ و ۰/۳۳ است و مابقی با رفتار ایزوتروپ جانبی می‌باشد. ماده‌ی ایزوتروپ با ضریب پواسون ۰/۲۵، (Mat 1) در این جدول، همان ماده‌ای است که پک و همکاران [26] در نظر گرفته‌اند و ماده‌ی ایزوتروپ با ضریب پواسون ۰/۳۳، (Mat 2)، ماده‌ای است که لوکو و میتا [23] در نظر گرفته‌اند. هم‌چنین ماده‌ی ایزوتروپ جانبی شماره‌ی ۳ این مطالعه (Mat 3) ماده‌ای است که اسکندری قادی و همکاران [14] در نظر گرفته‌اند. مطابق تحقیقات آنها سختی بی‌بعد فنر قائم معادل نیم‌فضا متشکل از ماده‌ی شماره‌ی ۱ تحت شالوده‌ی صلب دایره‌ای برابر ۵/۳۳۳۳۳ و برای ماده‌ی شماره‌ی ۲ برابر ۶/۰۰۰۰ و برای ماده‌ی شماره‌ی ۳ برابر ۹/۴۹۴۸ می‌باشد. اندازه‌ی مناسب المان‌ها با استفاده از رابطه‌ی (۵۷) تعیین می‌شود. در این مطالعه برای صفحه‌ی صلب دایره‌ای  $m$  برابر ۲ و برای صفحه‌ی انعطاف‌پذیر برابر ۱ در نظر گرفته می‌شود. لازم به توضیح است که تکنیکی تنش تماسی در لبه‌ی صفحه در حالت صلب بسیار قابل توجه است و نیاز به ریزتر شدن المان نسبت به حالت انعطاف‌پذیر دارد. برای تعیین اندازه‌ی

از آنجایی که صفحه‌ی دایره‌ای مورد مطالعه انعطاف‌پذیر می‌باشد، تغییر مکان نقاط مختلف نیم‌فضا در محل تماس با صفحه، غیریکنواخت است و برابر تغییر مکان صفحه می‌باشد. با مساوی قرار دادن تغییر مکان  $N$  نقطه  $M_i(r = \bar{r}_i, z = 0)$  با  $w_p(\bar{r}_i)$ ، ( $i = 1, 2, 3, \dots, N$ ) شده، به طوری که با حل آنها  $N$  مجهول  $p_i$ ، ( $i = 1, 2, 3, \dots, N$ ) تعیین می‌شوند. با در اختیار داشتن  $p_i$ ها، توزیع تغییر مکان و تنش در هر نقطه از نیم‌فضا و صفحه تعیین خواهند شد. از این میان می‌توان توزیع فشار تماسی صفحه و محیط را نیز تعیین نمود. هم‌چنین در حالتی که سختی صفحه به سمت بی‌نهایت میل کند (صفحه‌ی صلب)، با تعیین نیروی کل تماسی از رابطه‌ی زیر:

$$F_z = 2\pi \int_0^a r p_z(r) dr = 2\pi \sum_{i=1}^N p_i L_i \quad (60)$$

سختی بی‌بعد فنر متمرکز معادل نیم‌فضا (شکل ۹)

از رابطه‌ی زیر تعیین می‌شود:

$$K_{zz} = \frac{F_z}{w_p(0) a A_{66}} \quad (61)$$

عبارت  $a A_{66}$  در رابطه‌ی (۶۱) برای بی‌بعد شدن مقدار سختی اضافه شده است. هم‌چنین سختی فنر گسترده‌ی معادل نیم‌فضا با استفاده از رابطه‌ی  $K_z = K_{zz} / \pi a^2$  به دست می‌آید.

### نتایج عددی

در این بخش، نتایج به دست آمده از بخش‌های قبلی

مشاهده می شود در ماده‌ی شماره‌ی ۱، برای ۵ المان میزان خطای نسبی  $(K_{zz}(\text{exact}) - K_{zz}(\text{num})) / K_{zz}(\text{exact})$  برابر ۰/۵۱۰۰ درصد و برای ۳۰ المان این خطا برابر ۰/۰۰۱۸ درصد است. در ادامه، کلیه‌ی محاسبات با در نظر گرفتن ۳۰ المان انجام می شود. همان طور که پیشتر گفته شد، روش ارائه شده برای تعیین اندازه‌ی المان شرایط لازم برای رسیدن به دقت مناسب و در نظر گرفتن تکینگی فشار تماسی را در لبه‌های صفحه دارا می باشد.

مناسب، با تغییر تعداد المان‌ها سختی بی بعد فنر قائم ( $K_{zz}$ ) برای ماده‌ی شماره‌ی ۱، ۲ و ۳ به دست می آید و از آن تعداد المان‌های مناسب چنان تعیین می شود که جواب‌های به دست آمده منطبق بر جواب‌های موجود در مقالات مرتبط باشند. سختی بی بعد فنر قائم به دست آمده از روش ارائه شده در این مقاله تحت اثر شالوده‌ی صلب دایره‌ای با تعداد المان‌های معادل ۵، ۱۰، ...، ۳۰ المان برای مواد شماره‌ی ۱، ۲ و ۳ به دست آمده و در جدول (۲) الی (۴) لیست شده است. همان طور که

جدول ۱ مشخصات مکانیکی مصالح انتخابی

Material	1 ایزوتروپ	2 ایزوتروپ	3 ایزوتروپ جانبی	4 ایزوتروپ جانبی	5 ایزوتروپ جانبی
E (N/mm <sup>2</sup> )	50000	53333	50000	100000	150000
$\bar{E}$ (N/mm <sup>2</sup> )	50000	53333	150000	50000	50000
G (N/mm <sup>2</sup> )	20000	20000	20000	40000	60000
$\bar{G}$ (N/mm <sup>2</sup> )	20000	20000	20000	20000	20000
$\nu$	0.25	1/3	0.25	0.25	0.25
$\bar{\nu}$	0.25	1/3	0.25	0.25	0.25

جدول ۲ مقایسه‌ی سختی قائم شالوده‌ی صلب دایره‌ای ناشی از نتایج تحلیلی پک و همکاران [26] و نتایج عددی این مطالعه برحسب تعداد

المان (ماده‌ی شماره‌ی ۱)

تعداد المان	$K_{zz}(\text{num})$	$K_{zz}(\text{exact})$	اختلاف %
5	5.3061	5.3333	0.5100
10	5.3289	5.3333	0.0825
15	5.3319	5.3333	0.0262
20	5.3327	5.3333	0.0112
25	5.3331	5.3333	0.0037
30	5.3332	5.3333	0.0018

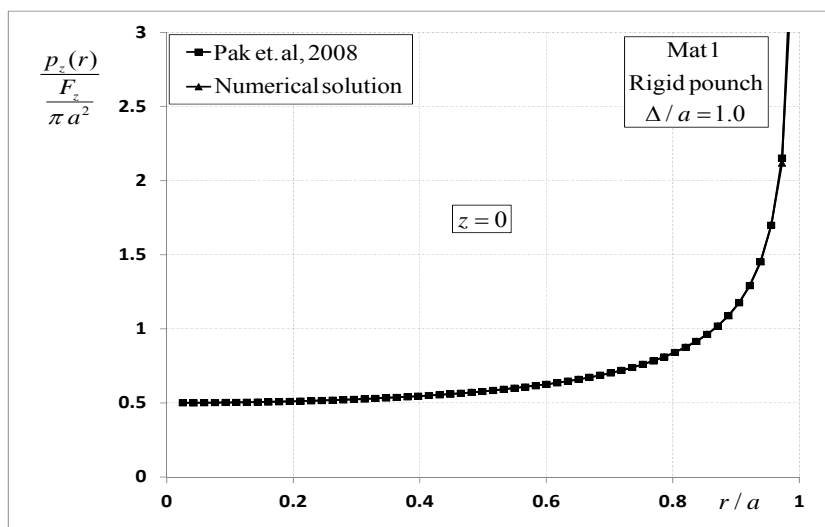
جدول ۳ مقایسه‌ی سختی قائم شالوده‌ی صلب دایره‌ای ناشی از نتایج تحلیلی لوکو و میتا [23] و نتایج عددی این مطالعه برحسب تعداد

المان (ماده‌ی شماره‌ی ۲)

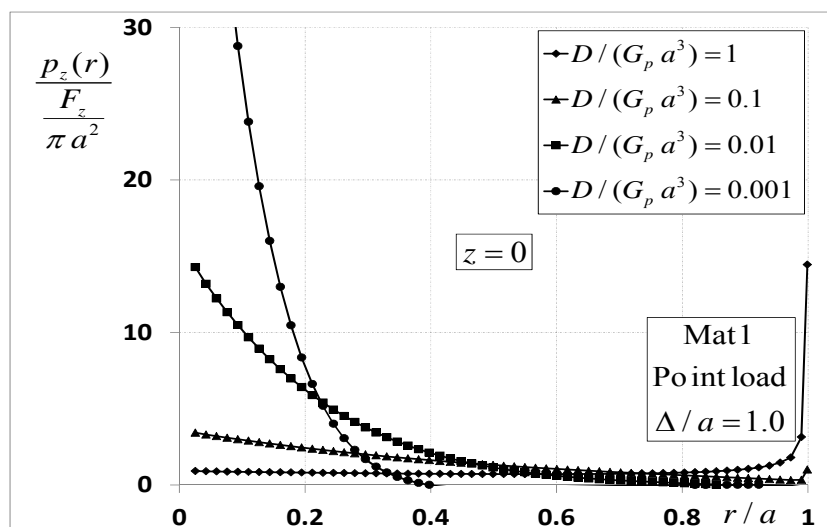
تعداد المان	$K_{zz}(\text{num})$	$K_{zz}(\text{exact})$	اختلاف %
5	5.9693	6.0000	0.5117
10	5.9950	6.0000	0.0833
15	5.9984	6.0000	0.0267
20	5.9993	6.0000	0.0117
25	5.9998	6.0000	0.0033
30	5.9999	6.0000	0.0017

جدول ۴ مقایسه‌ی سختی قائم شالوده‌ی صلب دایره‌ای ناشی از نتایج تحلیلی اسکندری قادی و همکاران [14] و نتایج عددی این مطالعه برحسب تعداد المان (ماده‌ی شماره‌ی ۳)

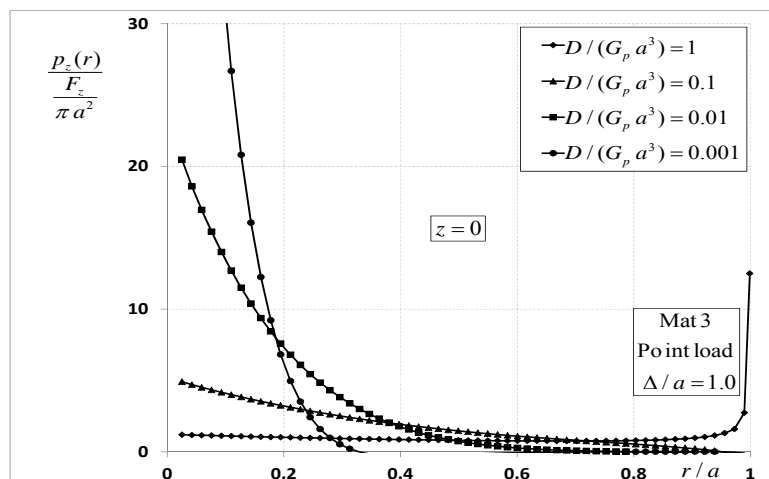
تعداد المان	$K_{zz}(\text{num})$	$K_{zz}(\text{exact})$	اختلاف %
5	9.4464	9.4948	0.5097
10	9.4869	9.4948	0.0832
15	9.4923	9.4948	0.0263
20	9.4938	9.4948	0.0105
25	9.4945	9.4948	0.0031
30	9.4947	9.4948	0.0010



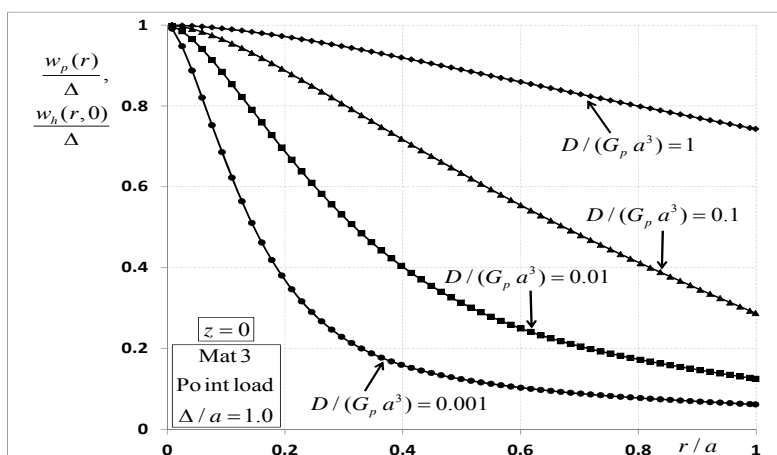
شکل ۸ مقایسه‌ی تنش تماسی حاصل از حل عددی مطالعه‌ی حاضر با حل تحلیلی پک و همکاران [26] برای صفحه‌ی صلب دایره‌ای تحت بار متمرکز مرکزی برای حالتی که تعداد المان‌ها ۳۰ است و کوچک‌ترین المان در لبه دارای پهنای 0.002a می‌باشد (ماده‌ی شماره‌ی ۱)



شکل ۹ تنش تماسی صفحه‌ی انعطاف‌پذیر دایره‌ای در حالت چسبندگی کامل صفحه با نیم‌فضا تحت بار متمرکز مرکزی (ماده‌ی شماره‌ی ۱)



شکل ۱۰ تنش تماسی صفحه‌ی انعطاف‌پذیر دایره‌ای در حالت چسبندگی کامل صفحه با نیم‌فضا تحت بار متمرکز مرکزی (ماده‌ی شماره‌ی ۳)



شکل ۱۱ تغییر مکان قائم نیم‌فضا و صفحه‌ی انعطاف‌پذیر دایره‌ای در حالت چسبندگی کامل صفحه با نیم‌فضا تحت بار متمرکز مرکزی (ماده‌ی شماره‌ی ۳)

و با نمودار دقیق آن مقایسه شده‌است. همپوشانی کامل این دو نمودار نشان از دقت بالای محاسبات با این روش عددی دارد.

در گراف‌های ارائه شده برای اهداف مقایسه‌ای، سختی صفحه به صورت نسبتی از مدول برشی آن نوشته شده‌است. بدین منظور مدول برشی صفحه برابر  $G_p = 2 \times 10^4$  نیوتن بر مترمربع و ضریب پواسون آن  $\nu_p = 0.25$  در نظر گرفته می‌شود. هم‌چنین برای رعایت اختصار، از این پس تغییر مکان مرکز صفحه‌ی دایره‌ای  $w_p(0)$  با  $\Delta$  نشان داده می‌شود.

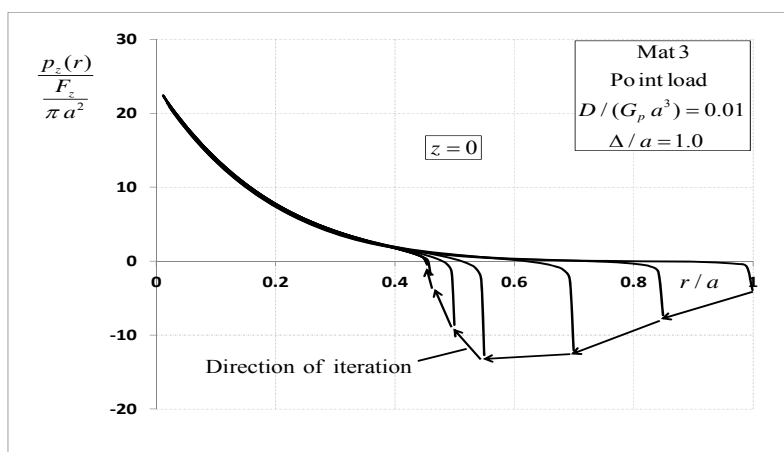
شکل‌های (۹) و (۱۰) تنش تماسی صفحه‌ی انعطاف‌پذیر دایره‌ای و نیم‌فضا را با در نظر گرفتن

با استفاده از حل تحلیلی شالوده‌ی صلب دایره‌ای توسط پک و همکاران [26]، تنش تماسی صفحه‌ی صلب دایره‌ای به صورت رابطه‌ی شکل (۸) مشاهده می‌شود، روش عددی این مطالعه، تمامی ویژگی‌های حل تحلیلی از جمله تکنیکی فشار تماسی در لبه صفحه را به خوبی ارضا می‌کند. حتی با در نظر گرفتن ۵ المان رینگی برای ناحیه‌ی تماس، تنها حدود ۰/۵۱۰۰ درصد خطا نسبت به حل تحلیلی آن وجود دارد (جدول ۲). این شکل برای حالتی که سختی صفحه بی‌نهایت است و به صورت صلب می‌باشد، تحت اثر تغییر مکان یکنواخت  $\Delta$  ترسیم شده

روند تحلیل تعیین شود. نحوه‌ی تعیین آن طبق شکل شماره‌ی (۱۲) به این صورت است که هم‌زمان با کاهش مرحله‌ای شعاع صفحه از  $a$  تا حدود  $\alpha$ ، مقدار تنش تماسی در هر مرحله ترسیم می‌شود. این روند تا یافتن اولین شعاع صفحه که به‌ازای آن، تنش در تمام نقاط صفحه از شعاع صفر تا آن شعاع ( $\alpha$ ) همگی مثبت باشند، ادامه می‌یابد. در جدول (۵) مقادیر  $\alpha$  به‌دست آمده از این مطالعه با مقادیر به‌دست آمده از نتایج پیک و همکاران [26] برای ماده‌ی ایزوتروپ شماره‌ی ۱ به‌ازای سختی‌های مختلف صفحه‌ی انعطاف‌پذیر دایره‌ای، مقایسه شده است. اختلاف ناچیز این دو مطالعه نشان‌دهنده‌ی دقت بالای محاسبات می‌باشد. هم‌چنین در جدول (۶) به‌ازای سختی  $D/(G_p a^3) = 0.01$  برای صفحه‌ی دایره‌ای، مقادیر  $\alpha$  به‌دست آمده برای مواد ایزوتروپ و ایزوتروپ جانبی با هم مقایسه شده است. با توجه به این جدول، مقدار  $\alpha$  در شرایط یکسان برای ماده‌ی شماره‌ی ۳ کمتر از سایر مواد می‌باشد و بدین معناست که ناحیه‌ی بلند شده‌ی صفحه در این ماده بیشتر از سایر مواد است که نشان‌دهنده‌ی سخت‌تر بودن این ماده است. از طرف دیگر ماده‌ی شماره‌ی ۲ دارای بیشترین نرمی بین مواد می‌باشد.

چسبندگی کامل صفحه و نیم‌فضا ( $\alpha = a$ ) تحت نیروی متمرکز با اندازه‌ی واحد در مرکز صفحه برای مواد شماره‌ی ۱ و ۳ نشان می‌دهد. همان‌طور که در این گراف‌ها مشاهده می‌شود تنش تماسی برای مقادیر مختلفی از سختی صفحه رسم شده است و طبق انتظار با کاهش سختی صفحه، تنش در مرکز صفحه زیاد می‌شود و با افزایش سختی آن مقدار تنش در لبه‌ی صفحه زیاد می‌گردد. شکل‌های نشان داده‌شده نشان از حاکم بودن رابطه‌ی (۵۲) در حالت تماس کامل صفحه و نیم‌فضا را دارد. شکل (۱۱) تغییرمکان قائم نیم‌فضا و صفحه‌ی انعطاف‌پذیر دایره‌ای را برای ماده‌ی شماره‌ی ۳ به‌ازای چسبندگی کامل صفحه و نیم‌فضا و سختی‌های مختلف صفحه تحت بار متمرکز در مرکز صفحه نشان می‌دهد. با توجه به این شکل مشاهده می‌شود، با کاهش سختی صفحه، تغییرمکان انتهایی صفحه بیشتر می‌شود و با افزایش سختی آن، مقدار تغییرمکان صفحه به تغییرمکان مرکز آن نزدیک‌تر می‌گردد. هم‌چنین به‌دلیل برقراری چسبندگی کامل صفحه و نیم‌فضا طبق رابطه‌ی (۵۱) مقدار تغییرمکان قائم صفحه و نیم‌فضا در کل شعاع صفحه با هم برابر می‌باشند.

همان‌طور که پیشتر گفته شد، مقدار شعاع چسبندگی  $\alpha$  باید به‌عنوان یک مجهول اضافه در حین



شکل ۱۲ روند یافتن شعاع چسبندگی صفحه و نیم‌فضا ( $\alpha$ ) برای صفحه‌ی انعطاف‌پذیر دایره‌ای در حالت عدم چسبندگی صفحه با نیم‌فضا تحت بار متمرکز مرکزی (ماده‌ی شماره‌ی ۳)

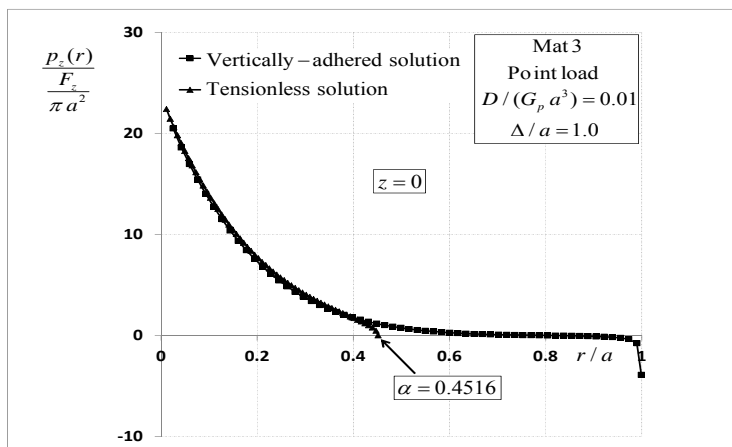


جدول ۵ مقایسه‌ی شعاع تماس ( $\alpha$ ) به دست آمده از این مطالعه با نتایج پک و همکاران [26] به ازای مقادیر مختلف سختی صفحه برای صفحه‌ی دایره‌ای انعطاف‌پذیر (ماده‌ی شماره‌ی ۱)

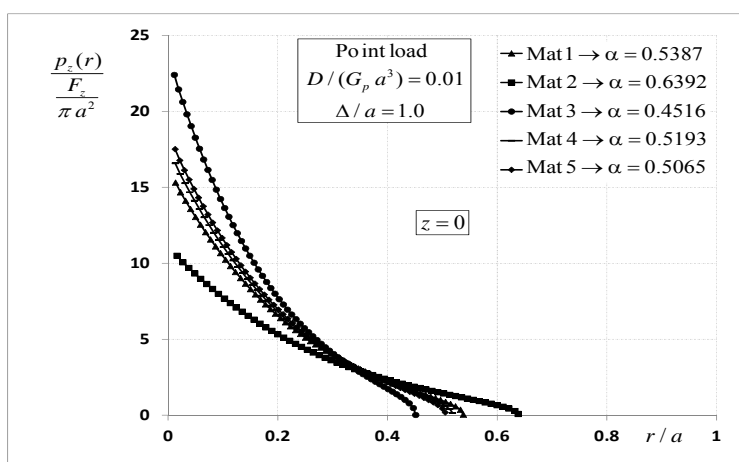
$D / (G_p a^3)$	مطالعه حاضر	Pak et al[2008]	اختلاف %
0.05	0.8572	0.8750	2.0343
0.03	0.7433	0.7590	2.0685
0.015	0.6080	0.6220	2.2508
0.01	0.5387	0.5435	0.8832

جدول ۶ شعاع تماس ( $\alpha$ ) به دست آمده برای مواد مختلف نیم‌فضا به ازای سختی  $D / (G_p a^3) = 0.01$  صفحه‌ی دایره‌ای انعطاف‌پذیر

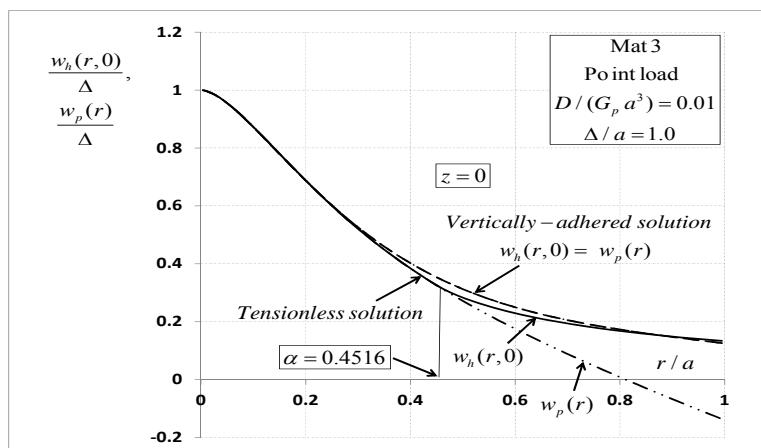
Material	Mat 1	Mat 2	Mat 3	Mat 4	Mat 5
$\alpha$	0.5387	0.6392	0.4516	0.5193	0.5065



شکل ۱۳ مقایسه‌ی تنش تماسی صفحه‌ی انعطاف‌پذیر دایره‌ای با نیم‌فضا در دو حالت چسبندگی و عدم چسبندگی صفحه با نیم‌فضا تحت بار متمرکز مرکزی (ماده‌ی شماره‌ی ۳)



شکل ۱۴ مقایسه‌ی تنش تماسی صفحه‌ی انعطاف‌پذیر دایره‌ای با نیم‌فضا بین مواد مختلف نیم‌فضا در حالت عدم چسبندگی صفحه با نیم‌فضا تحت بار متمرکز مرکزی

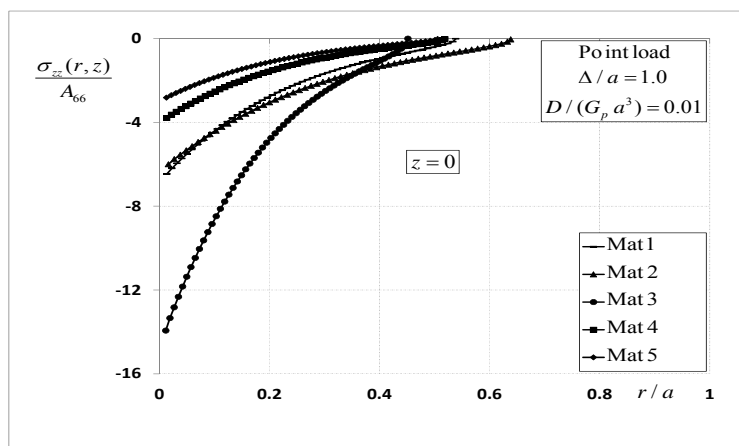


شکل ۱۵ مقایسه‌ی تغییرمکان قائم صفحه‌ی انعطاف‌پذیر دایره‌ای و نیم‌فضا در دو حالت چسبیده و عدم چسبندگی صفحه با نیم‌فضا تحت بار متمرکز مرکزی (ماده‌ی شماره‌ی ۳)

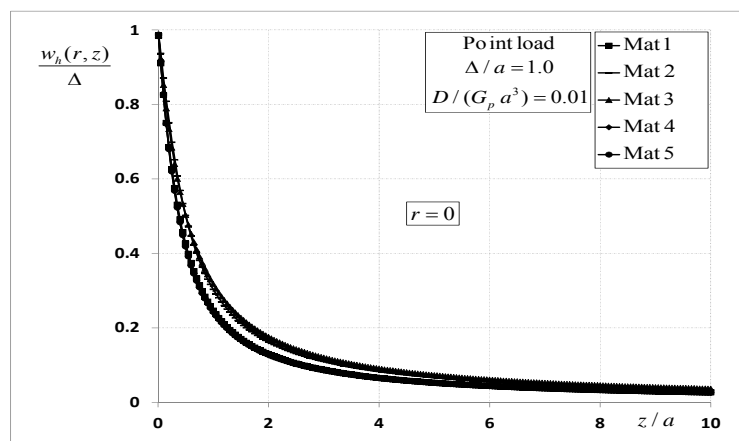
مقادیر تغییرمکان قائم نیم‌فضا در عمق را به‌ازای مقدار سختی ثابت صفحه‌ی دایره‌ای نشان می‌دهد که در این مورد نیز مطابق فوق با دور شدن از محل اثر بار، مقدار تغییرمکان قائم صفحه به سمت صفر میل می‌کند. شکل (۱۸) تأثیر میزان سختی صفحه بر تغییرمکان قائم نیم‌فضا در سطح را نشان می‌دهد. این شکل در حالت چسبندگی کامل صفحه‌ی دایره‌ای با نیم‌فضا به‌ازای سختی‌های مختلف صفحه ترسیم شده‌است. همان‌طور که مشاهده می‌شود، با افزایش سختی صفحه، یکنواختی تغییرمکان قائم نیم‌فضا در سطح زیرصفحه بیشتر شده و با کاهش سختی صفحه این مقدار تغییرمکان غیریکنواخت و روند کاهنده خواهد داشت. در انتها لازم به توضیح است که با توجه به گراف‌ها و جداول ارائه‌شده، اثر میزان نایزوتروپی در پاسخ مسأله بدین صورت است که مقدار شعاع تماس ( $\alpha$ ) با نسبت  $A_{33}/G_p$  رابطه‌ی معکوس دارد به‌طوری‌که با افزایش این نسبت، شعاع چسبندگی صفحه کاهش می‌یابد. هم‌چنین روابط ارائه‌شده در این مقاله، برای نیم‌فضای ایزوتروپ جانبی می‌باشد و با انتخاب مصالح ایزوتروپ نمی‌توان از این روابط استفاده نمود، چراکه برای نیم‌فضای ایزوتروپ نیاز به بازنویسی روابط و اصلاح مقادیر  $s_1$  و  $s_2$  و ساده‌سازی روابط می‌باشد که در مرجع [26] ارائه شده‌است.

در شکل (۱۳)، تنش تماسی در دو حالت چسبندگی کامل صفحه‌ی دایره‌ای با نیم‌فضا و هم‌چنین عدم چسبندگی آنها برای ماده‌ی شماره‌ی ۳ و سختی ثابت  $D/(G_p a^3) = 0.01$  ترسیم شده‌است. هم‌چنین در شکل (۱۴) تنش تماسی در حالت عدم چسبندگی صفحه‌ی دایره‌ای با نیم‌فضا با همان سختی صفحه بین مواد مختلف نیم‌فضا به‌صورت مقایسه‌ای ترسیم شده‌است. اثر میزان ناهمسانی نیم‌فضا بر پاسخ نیروی مؤثر بر صفحه‌ی انعطاف‌پذیر مشاهده می‌شود. شکل (۱۵) تغییرمکان قائم صفحه‌ی دایره‌ای و نیم‌فضا را در دو حالت چسبندگی صفحه با نیم‌فضا و عدم چسبندگی آنها با مقدار سختی ثابت صفحه، نشان می‌دهد. همان‌طور که مشاهده می‌شود، در شرایط عدم چسبندگی، از شعاع صفر تا  $\alpha$  صفحه و نیم‌فضا با هم در تماس‌اند و از شعاع  $\alpha$  تا  $a$  صفحه از نیم‌فضا جدا خواهد شد و تغییرمکان قائم نیم‌فضا از صفحه بیشتر می‌شود که نشان‌دهنده‌ی حاکم بودن رابطه‌ی (۵۳) می‌باشد.

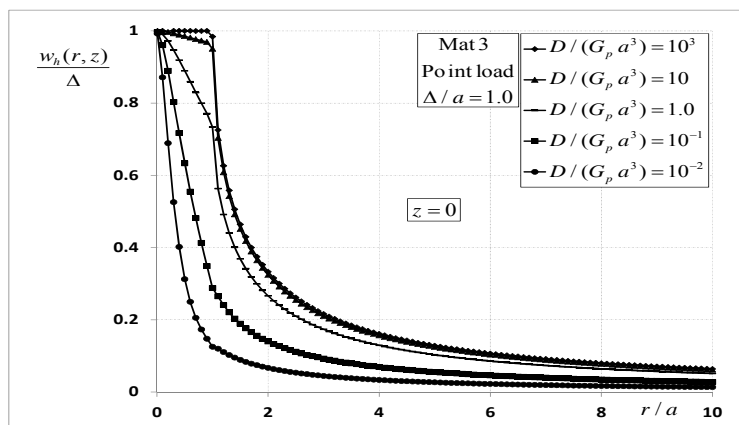
شکل (۱۶) مقادیر تنش قائم نیم‌فضا را در سطح نیم‌فضا به‌ازای مقدار سختی ثابت صفحه دایره‌ای نشان می‌دهد. همان‌طور که مشاهده می‌شود، با دور شدن از مرکز صفحه، طبق اصل منظم بودن جواب، مقدار تنش قائم نیم‌فضا به سمت صفر میل می‌کند. شکل (۱۷)



شکل ۱۶ مقایسه‌ی تنش قائم نیم‌فضا در سطح بین مواد مختلف نیم‌فضا در حالت عدم چسبندگی صفحه‌ی انعطاف‌پذیر دایره‌ای با نیم‌فضا تحت بار متمرکز مرکزی و سختی ثابت صفحه



شکل ۱۷ مقایسه‌ی تغییر مکان قائم نیم‌فضا در عمق بین مواد مختلف نیم‌فضا در حالت عدم چسبندگی صفحه‌ی انعطاف‌پذیر دایره‌ای با نیم‌فضا تحت بار متمرکز مرکزی و سختی ثابت صفحه



شکل ۱۸ مقایسه‌ی تغییر مکان قائم نیم‌فضا در سطح به‌ازای سختی‌های مختلف صفحه در حالت چسبندگی صفحه‌ی انعطاف‌پذیر دایره‌ای با نیم‌فضا تحت بار متمرکز مرکزی (ماده‌ی شماره‌ی ۳)

### نتیجه‌گیری

در این مقاله، به تحلیل توأم نیم‌فضای ایزوتروپ جانبی و صفحه‌ی دایره‌ای انعطاف‌پذیر تحت اثر نیروی قائم متقارن نسبت به محور گذرنده از مرکز صفحه پرداخته شد. برای انجام تحلیل، ابتدا معادله‌ی دیفرانسیل حاکم بر صفحه حل شد و از آن تابع گرین تغییرمکان قائم صفحه تحت بار حلقوی وارد بر آن به دست آمد. سپس نیم‌فضای ایزوتروپ جانبی تحت اثر بار حلقوی قائم وارد بر آن بررسی شد و با حل معادله تعادل حاکم بر محیط، تابع گرین تغییرمکان قائم نیم‌فضا نیز به دست آمد. در ادامه با در نظر گرفتن شرایط پیوستگی صفحه با نیم‌فضا، تابع تنش تماسی صفحه از حل معادلات انتگرالی حاکم بر مسأله با استفاده از روش المان‌های رینگی تعیین شد. با داشتن این تابع و انجام مراحل سعی و خطا، شعاع چسبندگی صفحه با نیم‌فضا تعیین شد و از نتایج آن نمودارهای تنش و تغییرمکان برای صفحه و نیم‌فضا در سطح تماس و در نواحی دوردست به صورت گراف‌هایی ارائه شد. نمودارهای ارائه‌شده نشان داد که با کاهش سختی صفحه‌ی انعطاف‌پذیر، مقدار تنش تماسی  $p_z(r)$  در زیر محل اثر بارگذاری روند افزایشی دارد به طوری که هرچه سختی صفحه به صفر نزدیک شود، مقدار تنش تماسی در محل بارگذاری به سمت بی‌نهایت میل می‌کند. از طرفی دیگر با افزایش سختی صفحه، مقدار تنش تماسی در لبه صفحه بیشتر می‌شود به طوری که در صفحه با سختی بی‌نهایت (صفحه صلب)، تنش در لبه آن به سمت بی‌نهایت میل می‌کند. همچنین مشاهده شد که اثر میزان نایزوتروپی در پاسخ مسأله به نسبت  $A_{33}/G_p$  وابسته است به طوری که با افزایش نسبت فوق، جداشدگی صفحه و نیم‌فضا در شعاع کوچک‌تری اتفاق می‌افتد.

### مراجع

۱. رحیمیان، محمد و اسکندری قادی، مرتضی، "تنوری ارتجاعی"، انتشارات دانشگاه تهران، (۱۳۷۹).
۲. اردشیر بهرستانی، عزیزالله و اسکندری قادی، مرتضی، "تحلیل نیم‌فضای ایزوتروپ جانبی تحت اثر صفحه‌ی صلب دایره‌ای با استفاده

نمودارهای مربوط به تغییرمکان صفحه‌ی انعطاف‌پذیر و نیم‌فضا نشان می‌دهند که مقادیر آنها تابعی از جنس مصالح صفحه و نیم‌فضا می‌باشد و اثر متقابل سختی این دو محیط، بر آنها تأثیرگذار خواهد بود، به طوری که با افزایش سختی صفحه، مقدار تغییرمکان صفحه و نیم‌فضا یکنواخت‌تر می‌شود. با مقایسه‌ی اثر مواد مختلف نیم‌فضا بر تنش‌ها و تغییرمکان‌ها نشان داده شد که ماده‌ی شماره‌ی ۳ سختی بیشتری نسبت به سایر مواد دارد و بالعکس ماده‌ی شماره‌ی ۲ سختی کمتری نسبت به سایر مواد دارد. همچنین با توجه به جداول و گراف‌های ارائه‌شده مربوط به محاسبه‌ی تنش تماسی، ثابت شد که با کاهش سختی صفحه‌ی انعطاف‌پذیر، شعاع تماس صفحه و نیم‌فضا ( $\alpha$ ) در نقاط نزدیک‌تری نسبت به محل اثر بارگذاری اتفاق می‌افتد و با افزایش سختی این شعاع به لبه‌ی صفحه نزدیک‌تر می‌شود به طوری که در حالت سختی بی‌نهایت، صفحه هیچ‌گاه دچار بلندشدگی نخواهد شد. همچنین پدیده‌ی جداشدگی در گراف‌های مربوط نشان داده شد که طبق انتظار، از شعاع بعد از  $\alpha$  تغییرمکان نیم‌فضا از صفحه بیشتر شد و با بلند شدن صفحه، عدم پیوستگی این دو محیط در این ناحیه مشاهده شد. در انتها با توجه به شکل‌های تغییرات تنش و تغییرمکان نیم‌فضا نسبت به سطح و عمق در نقاط دوردست، مشاهده شد که با دور شدن از محل اثر بارگذاری، مقادیر آنها به سمت صفر میل می‌کند که دلالت بر اصل منظم بودن جواب دارد. یکی دیگر از نتایج قابل ذکر در این قسمت، محاسبه‌ی سختی استاتیکی معادل خاک ( $K_{zz}$ ) در حالتی است که سختی صفحه بی‌نهایت است (صفحه‌ی صلب) که با مقادیر تحلیلی موجود به ازای مواد مختلف نیم‌فضا، مطابقت دارد.

از توابع گرین بار حلقوی"، نشریه‌ی علوم کاربردی و محاسباتی در مکانیک، ۲۲ (۱)، صفحات ص.ص. ۴۳-۵۸، (۲۰۱۱).

3. Celep, Z., "Rectangular plates resting on tensionless elastic foundation", *J. Eng. Mech.*, 114(2), doi: 10.1061/(ASCE)0733-9399-114:12(2083), pp. 2083-2092, (1988).
4. Celep, Z. "Circular plate on tensionless Winkler foundation", *J. Eng. Mech.*, 114(10), doi: 10.1061/(ASCE) 0733-9399-114:10(1723), pp. 1723-1739, (1988).
5. Celep, Z., Malaika, A., and Abu-Hussein, M., "Forced vibrations of a beam on a tensionless foundation." *Journal of Sound and Vibration*, Vol. 128, Issue. 2, pp. 235-246, (1989).
6. Celep, Z., "In-plane vibrations of circular rings on a tensionless foundation." *Journal of Sound and Vibration*, Vol. 143, Issue. 3, pp. 461-471, (1990).
7. Celep, Z., and Demir, F.. "Circular rigid beam on a tensionless two-parameter elastic foundation." *ZAMM- Journal of Applied Mathematics and Mechanics*, Vol. 85, Issue. 6, pp. 431-439, (2005).
8. Celep, Z., and Demir, F. "Symmetrically loaded beam on a two-parameter tensionless foundation", *Structural Engineering and Mechanics*, Vol. 27, No. 5, pp. 555-574, (2007).
9. Celep, Z., and Guler, K. "Axisymmetric forced vibrations of an elastic free circular plate on a tensionless two parameter foundation", *Journal of Sound and Vibration*, Vol. 301, Issues. 3-5, pp. 495-509, (2007).
10. Ding, H., and Chen, W., and Zhang, L., "Elasticity of transversely isotropic materials." Published by Springer, P.O. Box 17, 3300 AA Dordrecht, The Netherlands, (2006).
11. Elliott, H. A., "Three dimensional stress distribution in hexagonal aeolotropic crystals", *Mathematical Proceedings of the Cambridge Philosophical Society*, Vol. 44, pp. 522-533, (1948).
12. Eskandari-Ghadi, M. "A complete solutions of the wave equations for transversely isotropic media", *J. of Elasticity*, 81, pp. 1-19, (2005).
13. Eskandari-Ghadi, M., Pak, R. Y. S., and Ardeshir-Behrestaghi, A., "Transversely isotropic elastodynamic solution of a finite layer on an infinite subgrade under surface loads", *Soil Dynamics and Earthquake Engineering* 8, pp. 986-1003, (2008).
14. Eskandari-Ghadi, M., Fallahi, M., and Ardeshir-Behrestaghi, A., "Forced vertical vibration of Rigid circular disc on a transversely isotropic half-space", *Journal of engineering mechanics* © ASCE/ July, pp. 913-922, (2010).
15. Eskandari-Ghadi, M., Ardeshir-Behrestaghi, A., "Forced vertical vibration of rigid circular disc buried in an arbitrary depth of a transversely isotropic half space", *Soil dynamics and earthquake engineering* 30, doi: 10.1016/j, pp. 547-560, (2010).
16. Eskandari-Ghadi, M., Mirzapour, A., and Ardeshir-Behrestaghi, A. "Rocking vibration of a rigid circular disc buried in an a transversely isotropic full space", *Numerical and analytical method in geomechanics*, doi: 10.1002/nag. 976, pp. 547-560, (2010).
17. Eskandari-Ghadi, M., Pak, R. Y. S., and Ardeshir-Behrestaghi, A., "A hybrid analytical-numerical method for vertical concentric multi-annular punch contact with a transversely isotropic elastic half-space", *Journal of appliaed mechanics*, J\_ID: JAM DOI: 10.1115/1.4005546, (2011).

18. Eubanks, R. A., and Sternberg, E., "On the axisymmetric problem of elasticity theory for a medium with transverse isotropy", *Journal of rational mechanics and analysis*, pp. 89-101, (1954).
19. Gladwell, G.M.L., and Iyer, K.P.R., "Unbonded contact between a circular plate and an elastic half-space", *Journal of Elasticity*, Vol. 4, pp. 115-130, (1974).
20. Gurtin, M.E., "The linear theory of elasticity", In: S. Flugge (ed.), *Handbuch der Physik*, Vol. Via/2, *Mechanics of Solids II*, ed C. Truesdell. Springer, Berlin Heidelberg New York, pp. 1-295, (1972).
21. Hu, H. C., "On the three dimensional problems of the theory of elasticity of a transversely isotropic body", *Sci. Sinica*, Vol. 2, pp. 145-151, (1953).
22. Lekhnitskii, S. G., "Theory of anisotropic elastic bodies", Holden-Day publishing Co., San Fransisko, Calif, (1981).
23. Luco, J. E., and Mita, A., "Response of a circular foundation on a uniform half-space to elastic waves", *Earthquake Engineering and Structural Dynamics*, Vol. 15, pp. 105-118, (1987).
24. Michell, J. H., "The stress in an aelotropic elastic solid with an infinite plane boundary", *Proceeding of the London mathematical society*, Vol. 32, pp. 247-258, (1900).
25. Nowacki, W., "The stress function in three dimensional problems concerning an elastic body characterized by transversely isotropy", *Bull. Acad. Polon. Sci.*, Vol. 2, pp. 21-25, (1954).
26. Pak, R. Y. S., Simmons, B. M., and Ashlock, J. C., "Tensionless contact of a flexible plate and annulus with a smooth half-space under axisymmetric loads by integral equations", *International Journal of mechanical Sciences* 50, pp. 1004–1011, (2008).
27. Pan, Y. C., and Chou, T. W., "Green's functions solutions for semi-infinite transversely isotropic materials", *Int. J. Eng. Sci.*, 17(5), pp. 545-551, (1979).
28. Sneddon, I. N., "Fourier transforms", McGraw Hill, New York, N. Y, (1951).
29. Szilard, R., "Theory and analysis of plates, Classical and Numerical Methods", Prentice- Hall, Inc., Englawood Cliffs, New Jersey, (1974).
30. Timoshenko, S.P.. and Woinowski-Kreiger, S., "Theory of plates and shells", 2<sup>nd</sup> ed. New York: McGraw Hill, (1959).
31. Wang, M. Z., and Wang, W., "Completeness and nonuniqueness of general solutions of transversely isotropic elasticity", *International Journal of Solids and Structures*, 32 (374), pp. 501-513, (1995).
32. Weitsman, Y., "ON the unbounded contact between plates and an elastic half space", *Journal of applied Mechanics*, ASME; 36, pp. 198-202, (1969).
33. Weitsman, Y., "Onset of separation between a beam and a tensionless elastic foundation under a moving load", *International Journal of Mechanical Sciences*, 13 (8), pp. 707-711, (1971).
34. Weitsman, Y., "A tensionless contact between a beam and an elastic half-space", *International Journal of Engineering Science*, Vol. 10, pp.73, (1972).